



# Úvod do počítačovej grafiky bez geometrie: Image-based Rendering

Andrej FERKO

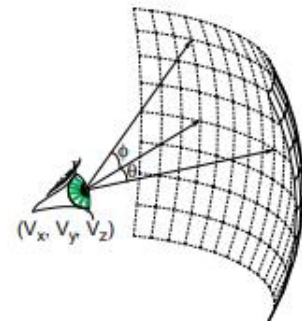
Comenius University Bratislava

22. marca 2018, FMFI UK

# Motivation

- Time, costs...
- human visual system
- field of view
- of around 135x200 degrees,
- but a typical camera
- only 35 x 50 degrees...

- Plenoptic modeling... 1995



**FIGURE 1.** The plenoptic function describes all of the image information visible from a particular viewing position.

In the case of a dynamic scene, we can additionally choose the time,  $t$ , at which we wish to evaluate the function. This results in the following form for the plenoptic function:

$$p = P(\theta, \phi, \lambda, V_x, V_y, V_z, t) \quad (1)$$

# Plenoptic modeling

- **Plenoptic modeling...** Bishop & McMillan 1995
- “Image-based rendering is a powerful new approach for generating real-time photorealistic computer graphics... convincing animations without an explicit geometric representation.”

- Tools: Dersch, Hugin, PTGui...

- AutoStitch - Brown-Lowe 2003

- <http://matthewalunbrown.com/autostitch/autostitch.html>

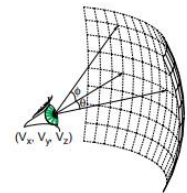


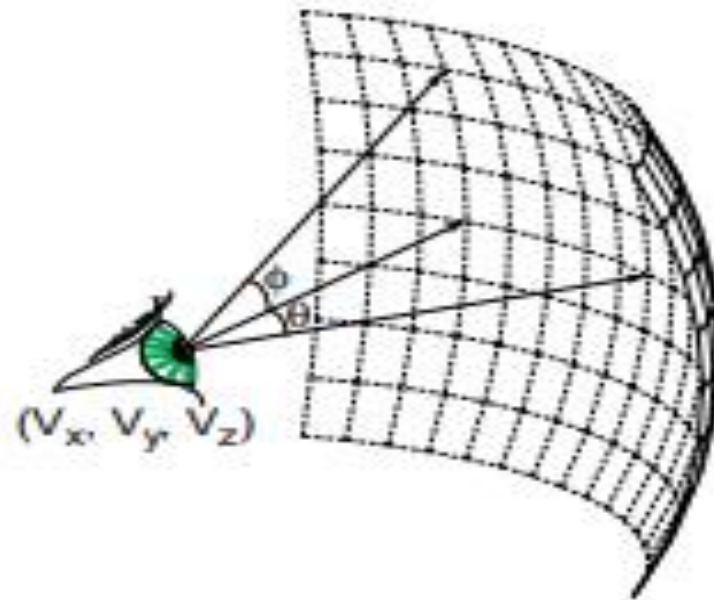
FIGURE 1. The plenoptic function describes all of the image information visible from a particular viewing position.

In the case of a dynamic scene, we can additionally choose the time,  $t$ , at which we wish to evaluate the function. This results in the following form for the plenoptic function:

$$p = P(\theta, \phi, \lambda, V_x, V_y, V_z, t) \quad (1)$$

- **7D Plenoptic Function >> 2D panorama**

# Plenoptic function [BM95]

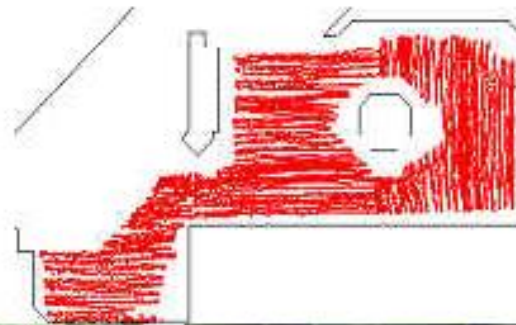


**FIGURE 1.** The plenoptic function describes all of the image information visible from a particular viewing position.

In the case of a dynamic scene, we can additionally choose the time,  $t$ , at which we wish to evaluate the function. This results in the following form for the plenoptic function:

$$p = P(\theta, \phi, \lambda, V_x, V_y, V_z, t) \quad (1)$$

# Sea of Images 2002



[Daniel G. Aliaga](#), [Thomas Funkhouser](#), Dimah Yanovsky, Ingrid Carlbom

# Photosynth 2006-10

## Microsoft Photosynth

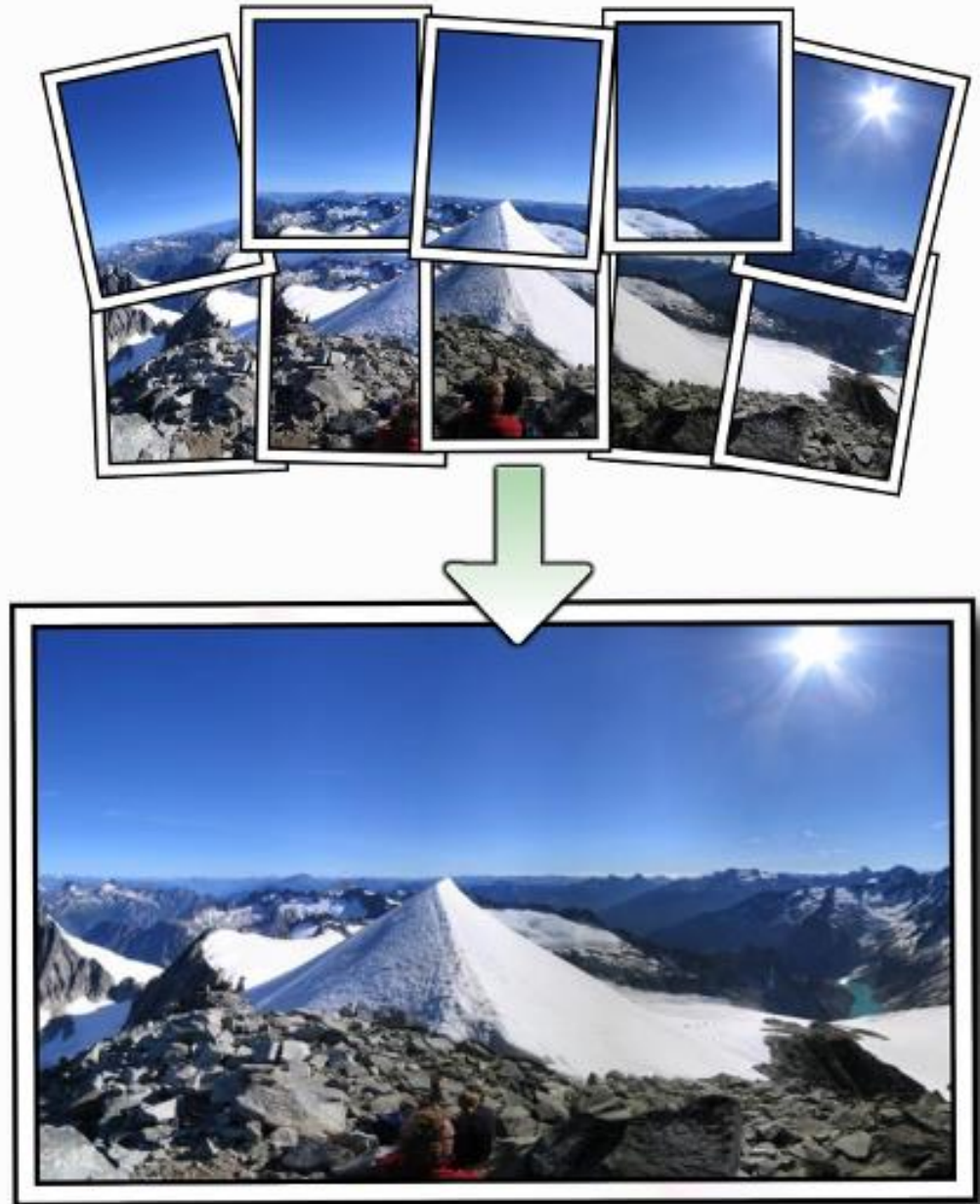


Photosynth technology showing Spider Meadows  
Central Washington

<b>Developer(s)</b>	Microsoft
<b>Initial release</b>	August 20, 2008; 9 years ago
<b>Last release</b>	2.110.317.1042 / March 18, 2016; 7 years ago
<b>Development status</b>	Discontinued <sup>[1]</sup>
<b>Type</b>	3D modeling, panorama stitching
<b>Website</b>	<a href="http://photosynth.net">photosynth.net</a>

# Autostitch

- [BL03]



# Process

- **[BL03]**



*25 of 57 images aligned*



*All 57 images aligned*



*Final Result*

- <http://matthewalunbrown.com/autostitch/autostitch.html>



# Principles of geometric analysis and synthesis of a mathematic model

- princíp kontinuity
  - (neprerывnost: spojitost, koherencia)
- princíp zhody
  - (sootvetstviye: dodržiavanie, consistency, conformity)
- princíp kompatibility
  - (sovmestimost: zlučiteľnosť)
- Baganyan, GA. 1985. Mašinnejaja grafika v upravlenii. Jerevan: Ajastan.

# History before computers

- Panorama of 'Old Edinburgh' by Robert Barker
- Barker's patent for painting panoramas expired in 1801, which meant the 360-degree images could be produced by rival artists



# SIGGRAPH Slide Show



## 1991 SIGGRAPH Educators' Slide Set

Editor  
Steve Cunningham  
California State University Stanislaus



S I G G R A P H • 9 1

## ShutterBug Credits

Produced by Tom Williams and H. B. Slegel, with the assistance of M. W. Mantle

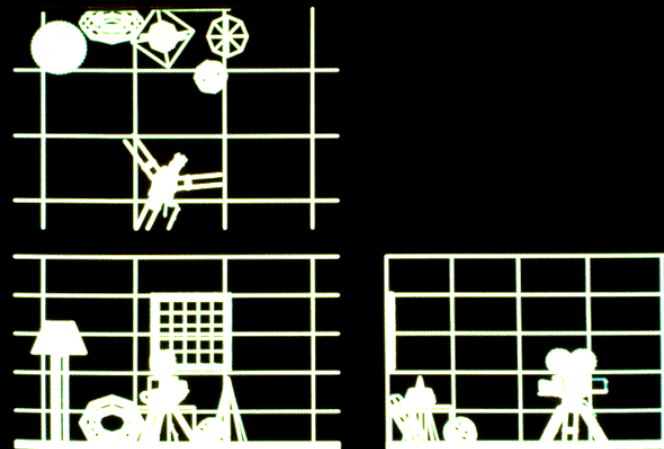
All images rendered with PhotoRealistic RenderMan 3.2

Copyright Pixar, 1990

Produced for Computer Graphics, Principles and Practice, Second Edition, by Foley, van Dam, Feiner, and Hughes

Copyright Addison-Wesley, 1990

★ S I G G R A P H • 8



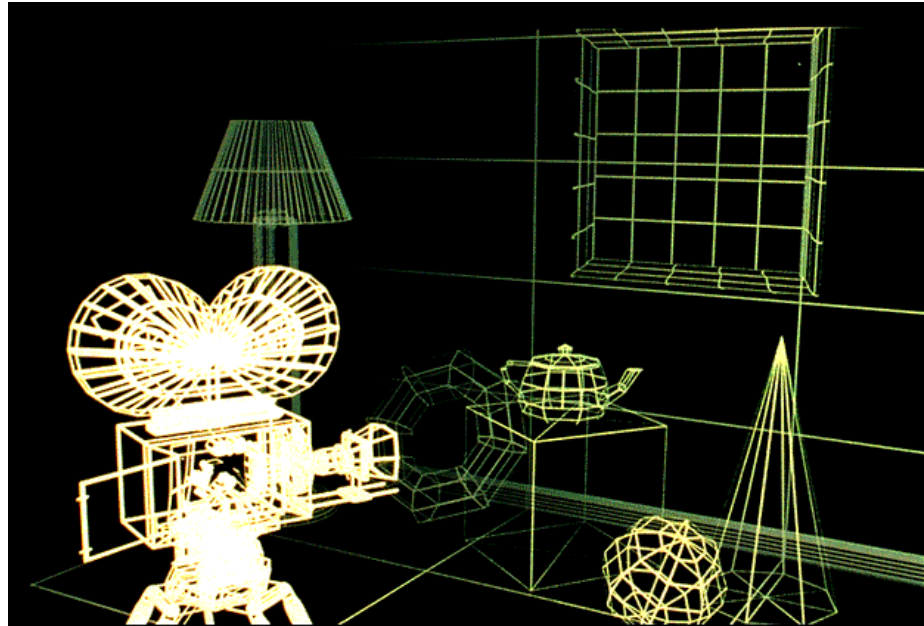
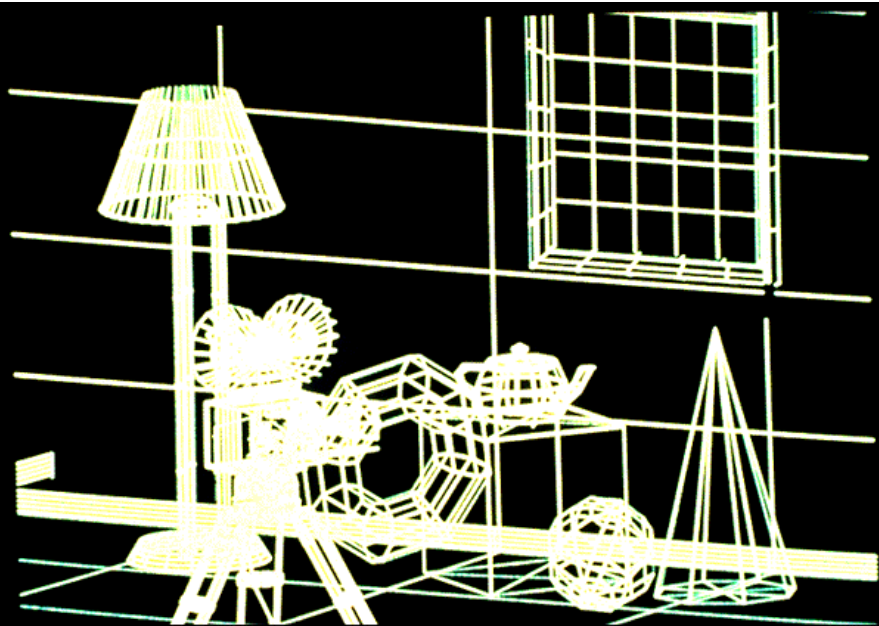
## The Shutterbug Rendering Progression

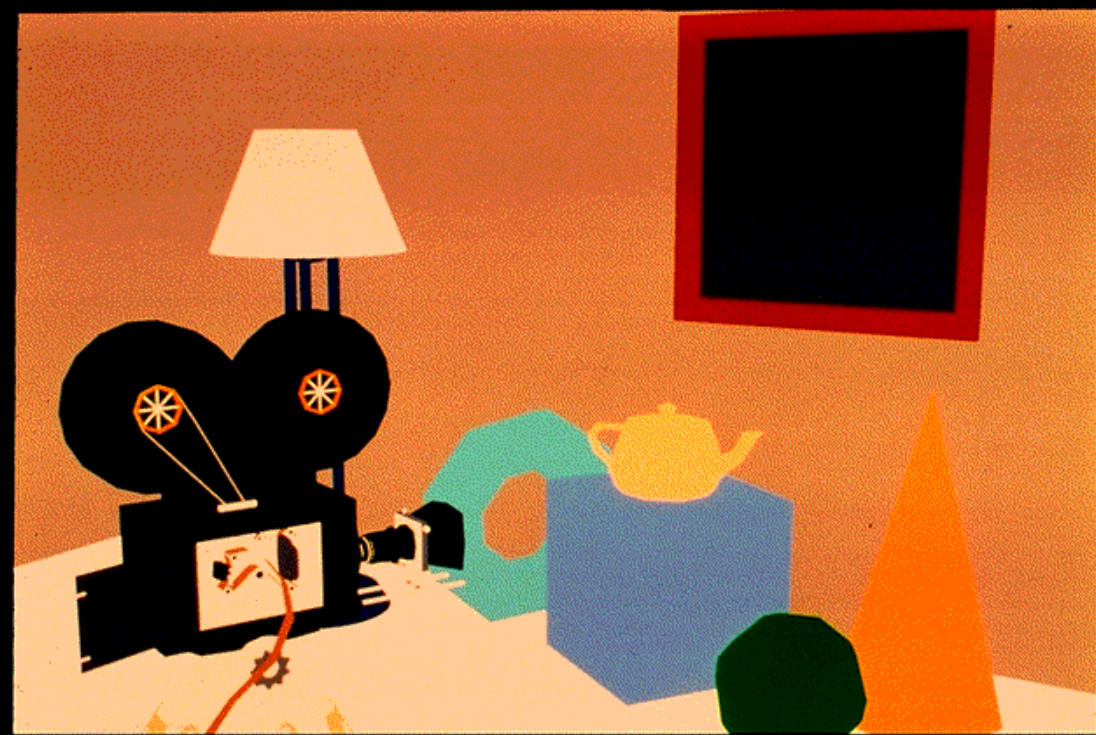
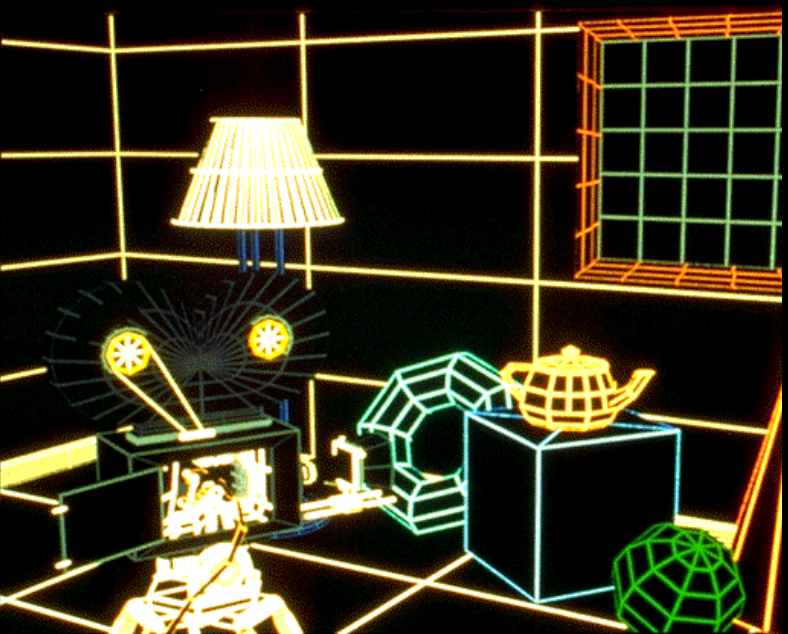
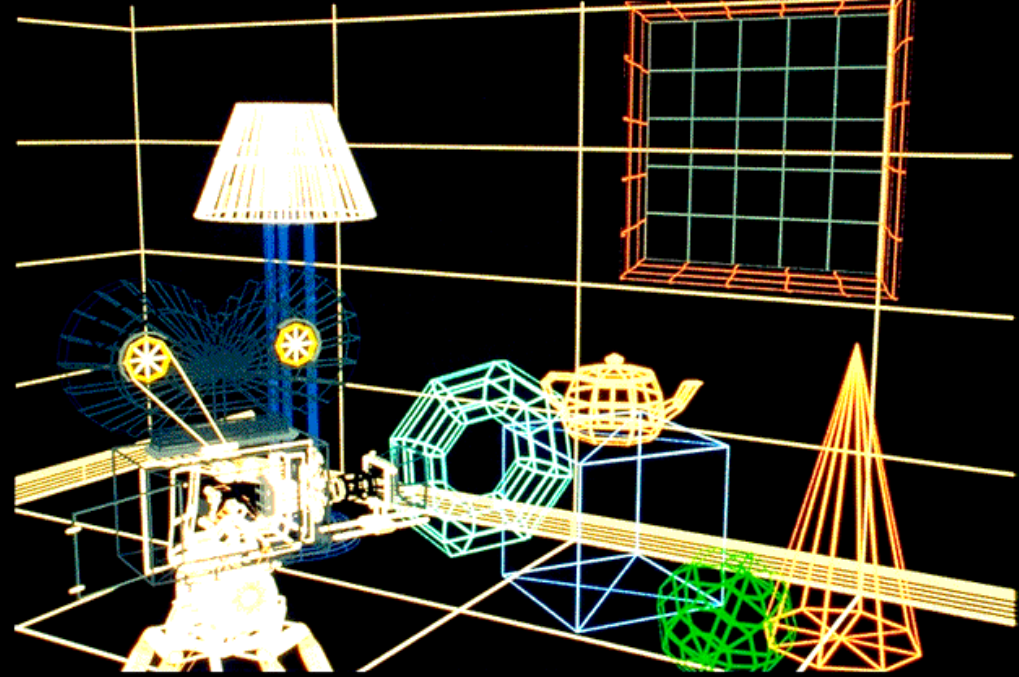
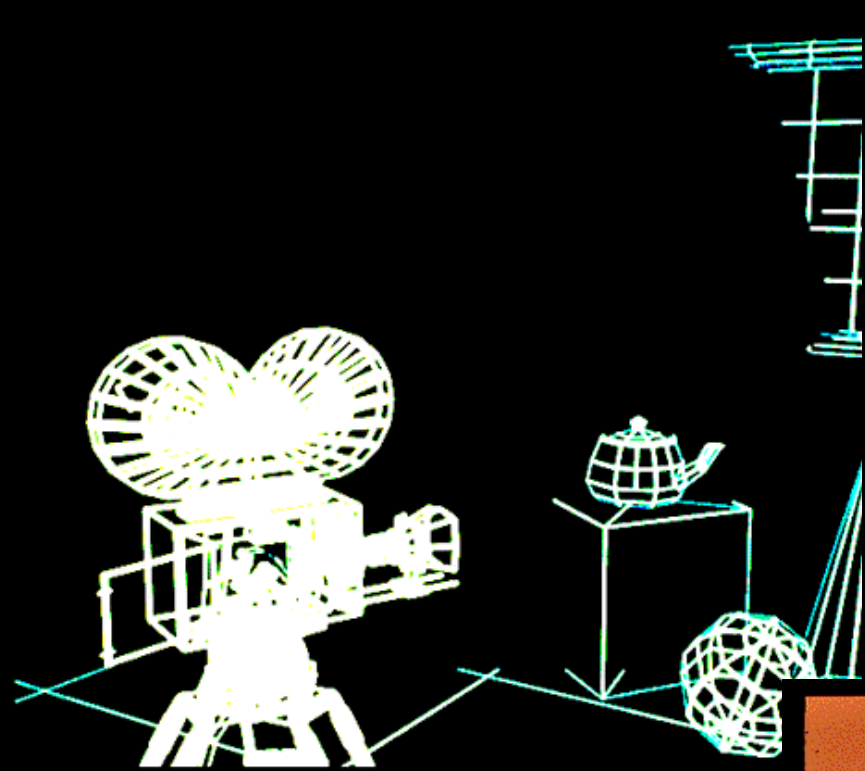
This sequence illustrates the progressive refinement of rendering algorithms.

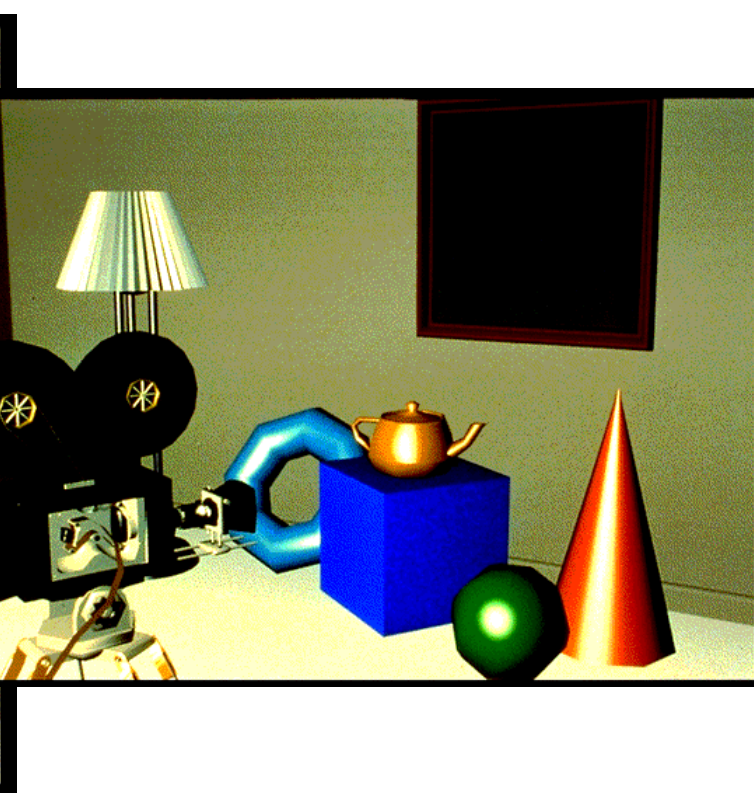
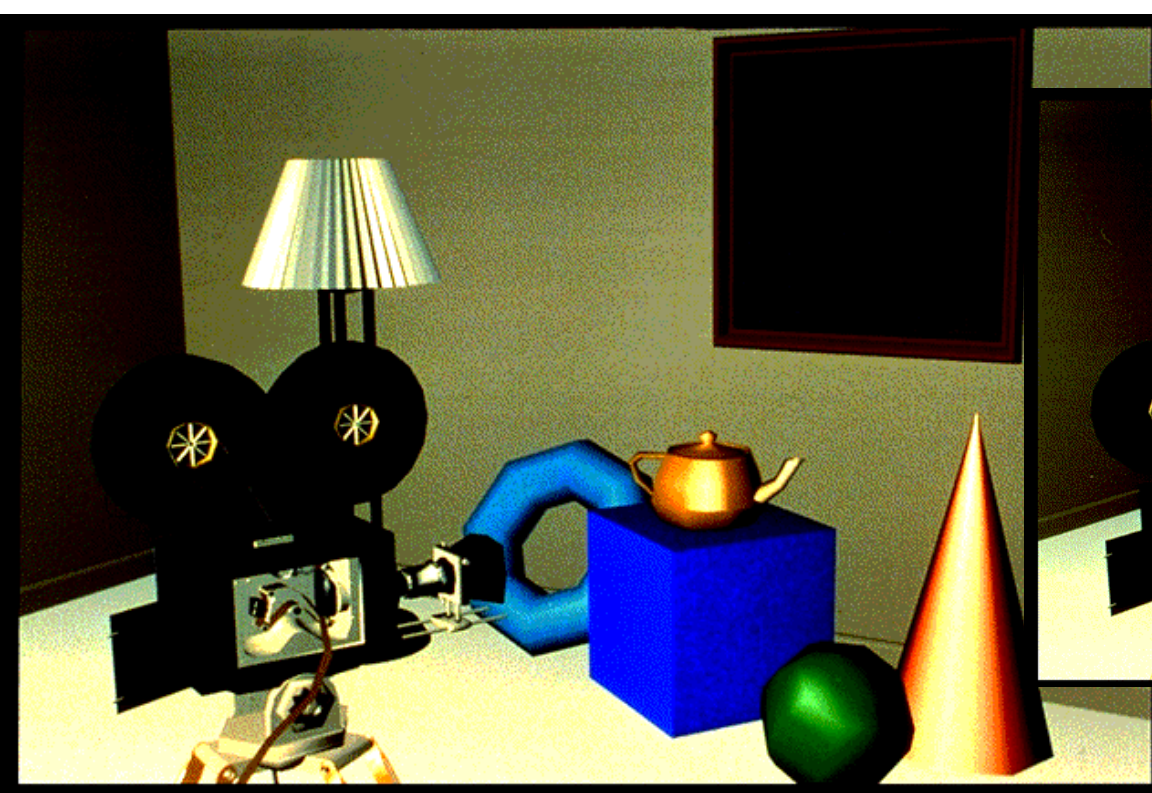
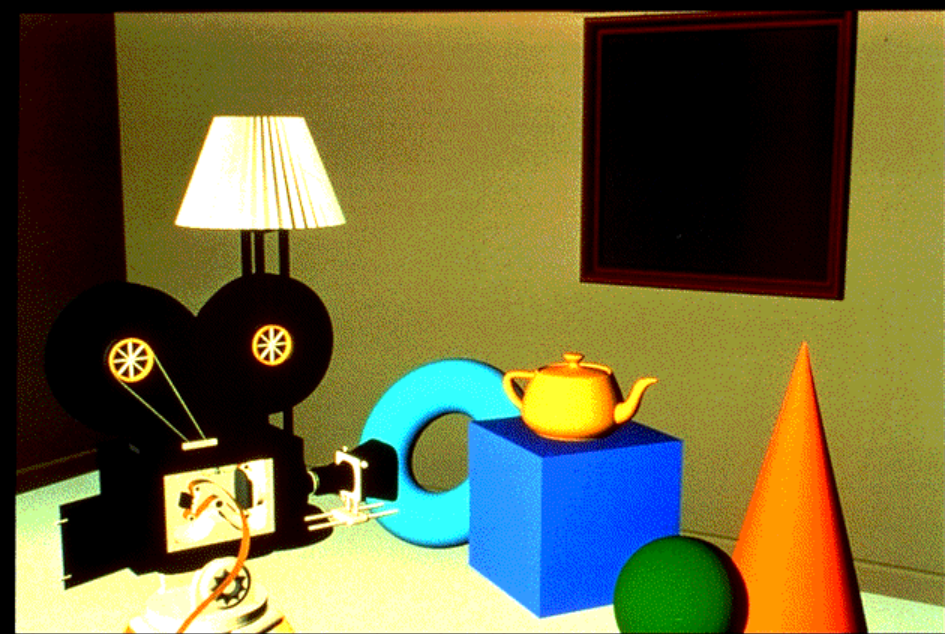
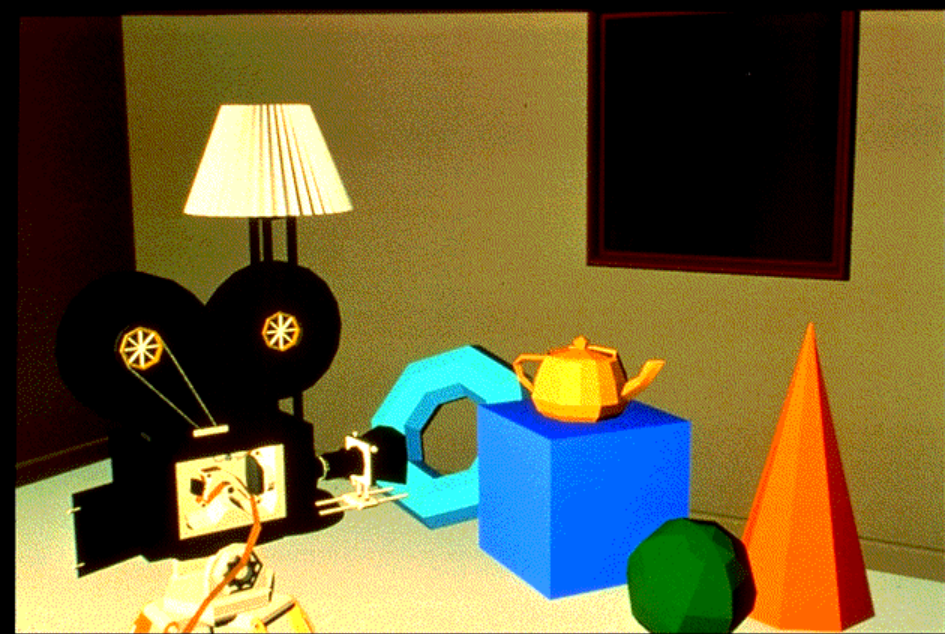
The images range from wire frames to photo-realistic renditions including reflections and shadows.

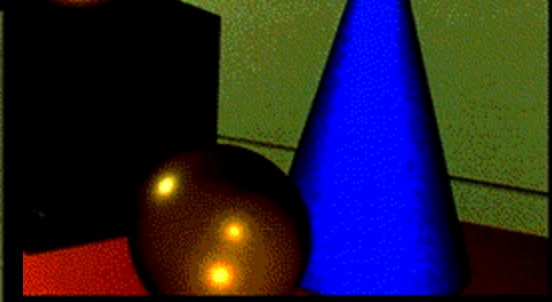
The rendering algorithm affects the quality and information conveyed by the image, independent of the underlying three-dimensional model.

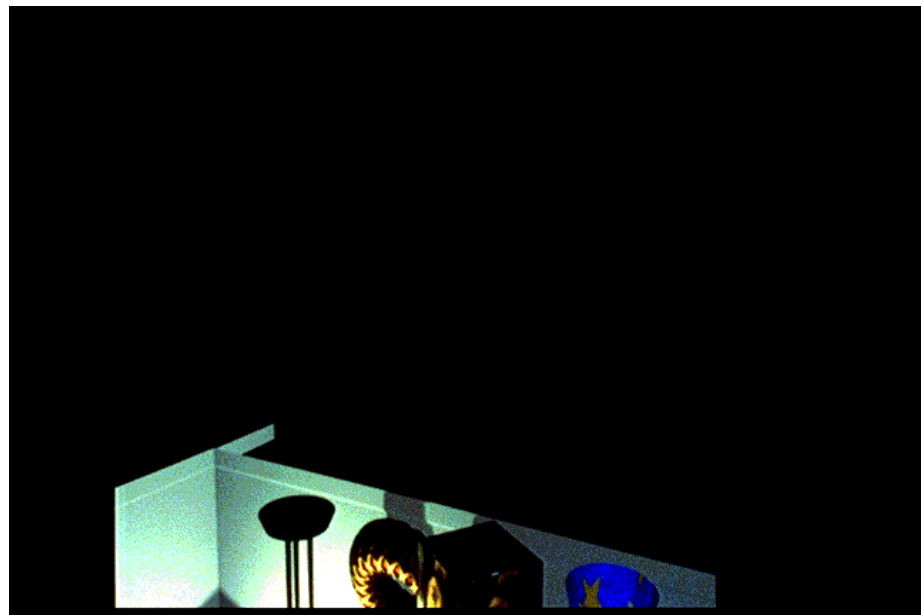
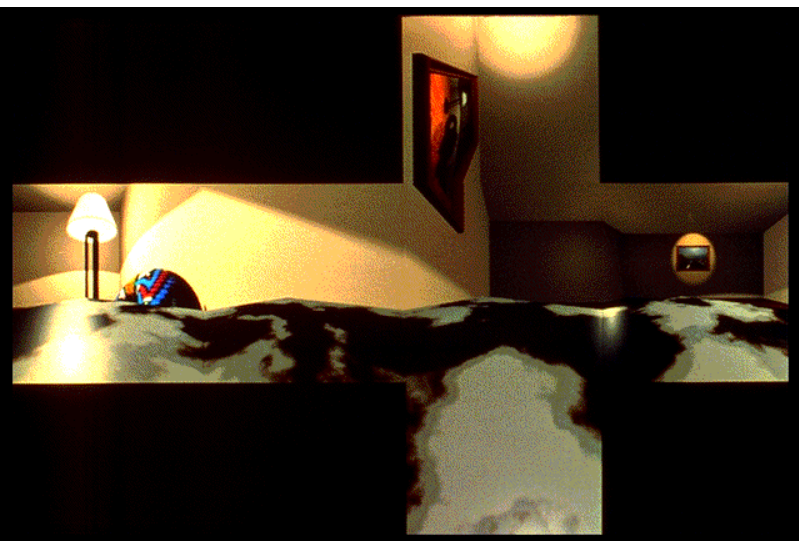
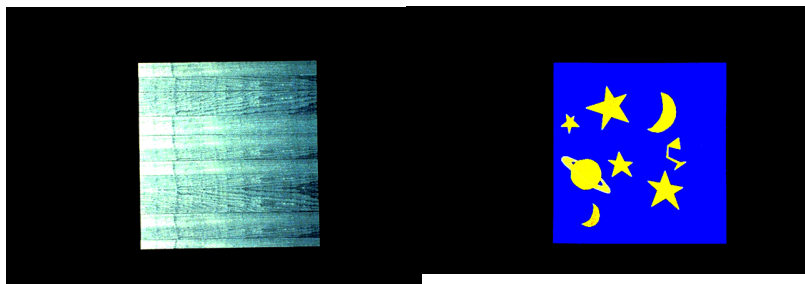
★ S I G G R A P H • 9 1







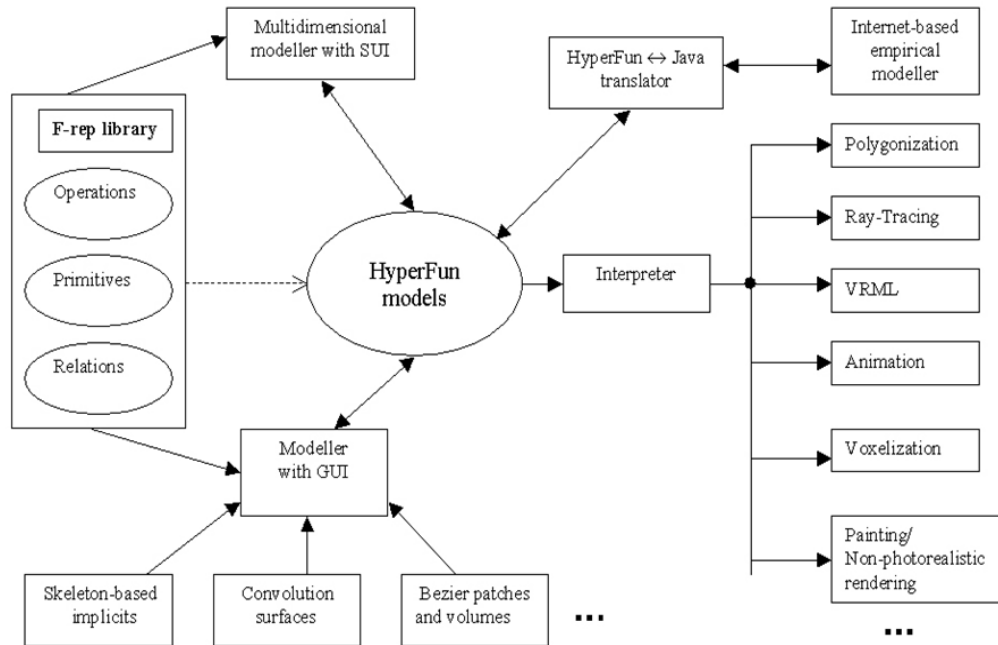






# Model >> Picture, context

## System Architecture



## FRep Library

### Primitives

*HfSphere, HfEllipsoid,  
HfCylinder,  
HfEllipticCylinder,  
HfEllipticCone, HfTorus,  
HfSuperellipsoid,  
HfBlock, HfBlobby,  
HfMetaball, HfSoft,  
hFBezierVolume,  
HfCubicSpline, HfNoiseG*

### Convolution objects:

*HfConvPoint,  
HfConvLine, HfConvArc,  
HfConvTriangle,  
HfConvCurve,  
HfConvMesh*

### Operations

*HfBlendingUnion,  
HfBlendingIntersection,  
HfScale, HfShift,  
HfRotate, HfTwist,  
HfStretch, HfTapering,  
HfSpaceMapCubic*

### Specialist operations for hypervolume texturing:

*HfColor, HfColorUnion,  
HfGradient, HfWave,  
HfMapNoise,  
HfColorPattern,  
HfColorWall, ...*

--This HyperFun program consists of one object:  
 --union of superellipsoid, torus and soft object

```

my_model(x[3], a[1])
{
  array x0[9], y0[9], z0[9], d[9], center[3];
  x1=x[1];
  x2=x[2];
  x3=x[3];

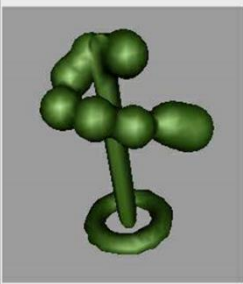
  -- superellipsoid by formula
  superEll = 1-(x1/0.8)^4-(x2/10)^4-(x3/0.8)^4;

  -- torus by library function
  center = [0, -9, 0];
  torus = hfTorusY(x,center,3.5,1);

  -- soft object
  x0 = [2.,1.4, -1.4, -3, -3, 0, 2.5, 5., 6.5];
  y0 = [8, 8, 8, 6.5, 5, 4.5, 3, 2, 1];
  z0 = [0, -1.4,-1.4, 0, 3, 4, 2.5, 0, -1];
  d = [2.5, 2.5, 2.5, 2.5, 2.5, 2.5, 2.5, 2.7, 3];
  sum = 0.;
  i = 1;
  while (i<10) loop
    xt = x[1] - x0[i];
    yt = x[2] - y0[i];
    zt = x[3] - z0[i];
    r = sqrt(xt*xt+yt*yt+zt*zt);
    if (r <= d[i]) then
      r2 = r*r; r4 = r2*r2; r6 = r4*r2;
      d2 = d[i]^2; d4 = d2*d2; d6 = d4*d2;
      sum = sum + (1 - 22*r2/(9*d2) +
        17*r4/(9*d4) - 4*r6/(9*d6));
    endif;
    i = i+1;
  endloop;
  soft = sum - 0.2;

  -- final model as set-theoretic union
  my_model = superEll | torus | soft;
}

```



# HyperFun Polygonizer

- Polygonization  
Pasko et al. [1988]
- Command line interface
- VRML export
- MAM/VRS + Tcl/Tk
- Multi-Platform

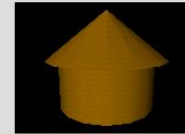
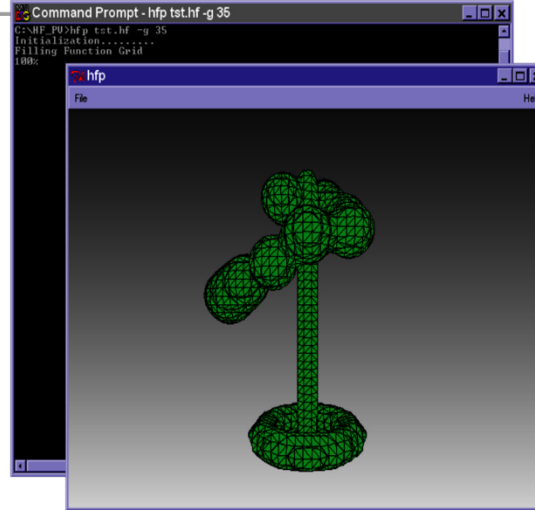


Figure 2.1

Your first VRML world

[02fig01.wrl](#)

Click on the image to view the VRML scene.

```

#VRML V2.0 utf8
# The VRML 2.0 Sourcebook
# Copyright (c) 1997
# Andrea L. Ames, David R. Nadeau, and John L. Moreland
# A brown hut
Group {
  children [
    # Draw the hut walls
    Shape {
      appearance DEF Brown Appearance {
        material Material {
          diffuseColor 0.6 0.4 0.0
        }
      }
      geometry Cylinder {
        height 2.0
        radius 2.0
      }
    },
    # Draw the hut roof
    Transform {
      translation 0.0 2.0 0.0
      children Shape {
        appearance USE Brown
        geometry Cone {
          height 2.0
          bottomRadius 2.5
        }
      }
    }
  ]
}

```

- <https://www.wiley.com/legacy/compbooks/vrml2sbk/ch02/02fig01.htm>

# Virtual Heart of Central Europe, Culture 2000



- Awarded by EuroPrix Quality Seal

[www.VHCE.info](http://www.VHCE.info)

- 330 kEUR, 150 kEUR from EC, Slovak Prix
- follow-up 2005-2006 (SK, SI, PL, CZ), submitted, 256 kEUR, rejected

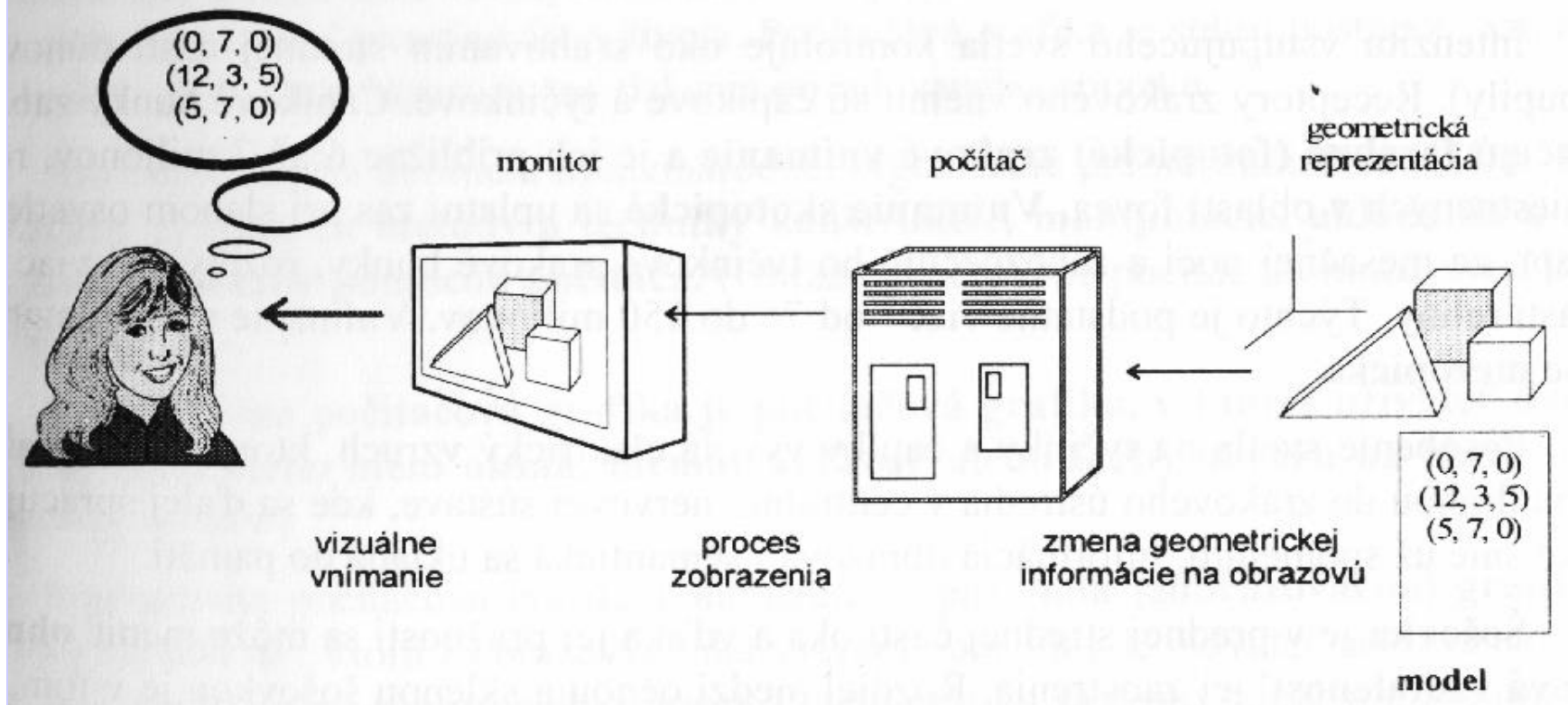
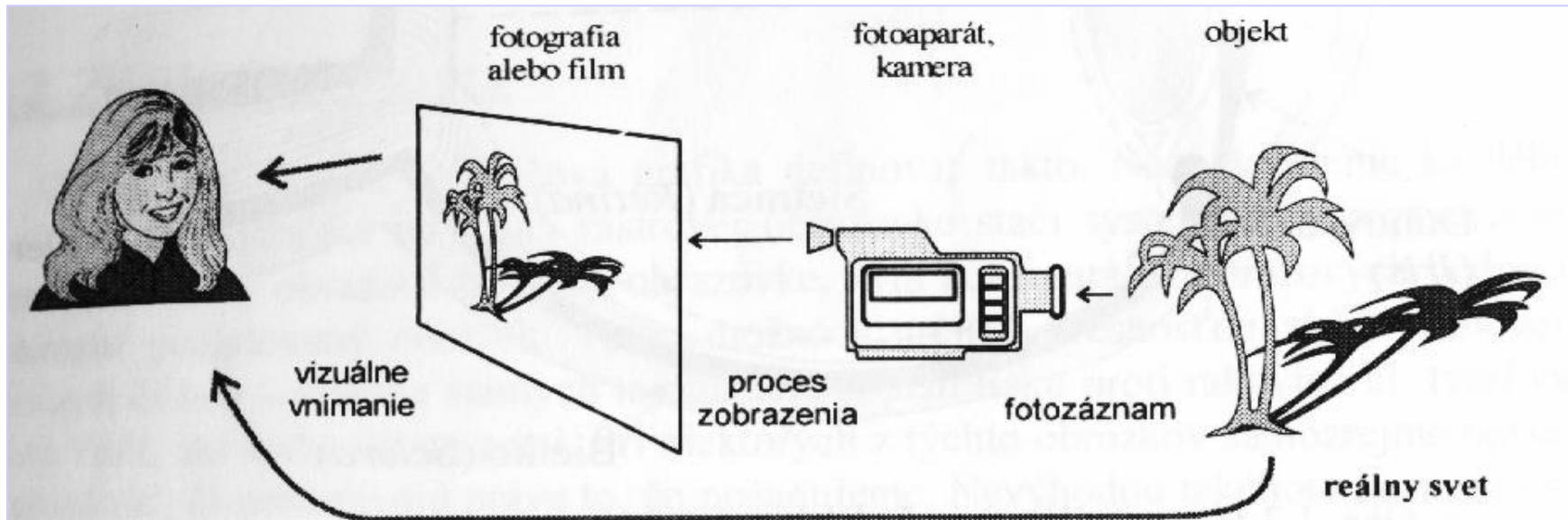
# Compare Reality - Synthesis



Photograph



Rendering using the deterministic method



# Compare Workflow (PTGui)








Photograph

Rendering using the deterministic method



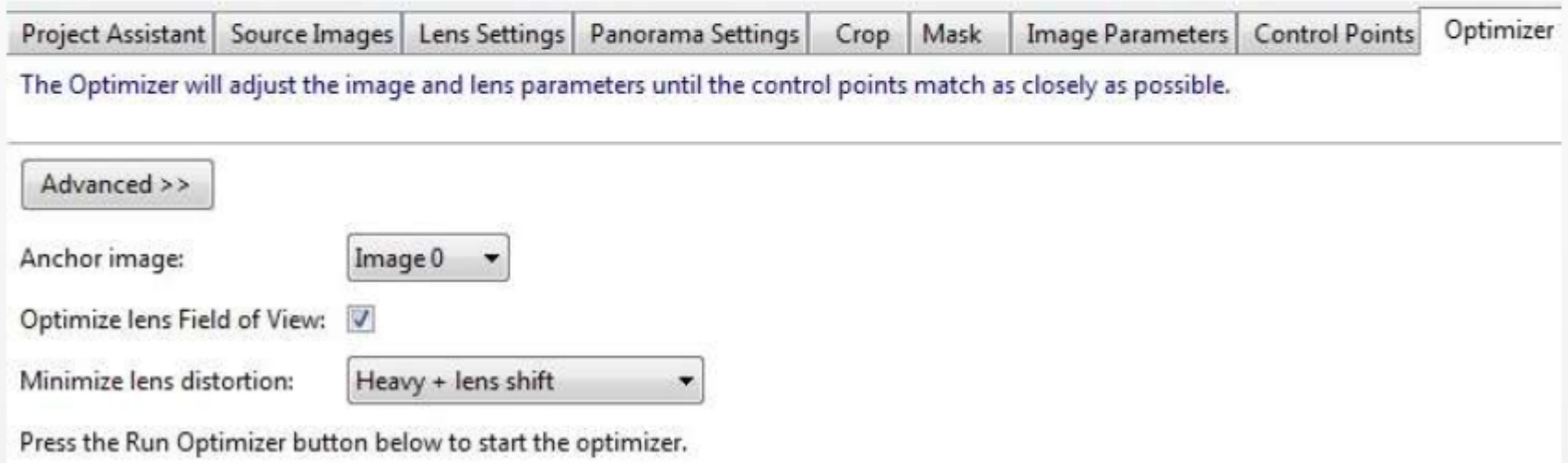
# STITCHING WORKFLOW USING PtGUI

- Load the 5 aerial pictures into PtGui
- Assuming RAW images have been processed with LR

	Image	File	Width	Height
0		R:\Pano\Kopter\Olympiapark\P1050983.JPG	4000	3000
1		R:\Pano\Kopter\Olympiapark\P1050985.JPG	4000	3000
2		R:\Pano\Kopter\Olympiapark\P1050987.JPG	4000	3000
3		R:\Pano\Kopter\Olympiapark\P1050989.JPG	4000	3000
4		R:\Pano\Kopter\Olympiapark\P1050992.JPG	4000	3000

# STITCHING WORKFLOW USING PTGUI

- Set Optimizer to Heavy + lens shift
- Align Images



The screenshot shows the 'Optimizer' tab selected in the PTGUI software interface. The tab bar at the top includes 'Project Assistant', 'Source Images', 'Lens Settings', 'Panorama Settings', 'Crop', 'Mask', 'Image Parameters', 'Control Points', and 'Optimizer'. Below the tab bar, a text box explains the optimizer's function: 'The Optimizer will adjust the image and lens parameters until the control points match as closely as possible.' A button labeled 'Advanced >>' is visible. The main settings area includes: 'Anchor image:' with a dropdown menu set to 'Image 0'; 'Optimize lens Field of View:' with a checked checkbox; and 'Minimize lens distortion:' with a dropdown menu set to 'Heavy + lens shift'. At the bottom, a text instruction reads: 'Press the Run Optimizer button below to start the optimizer.'

Project Assistant | Source Images | Lens Settings | Panorama Settings | Crop | Mask | Image Parameters | Control Points | Optimizer

The Optimizer will adjust the image and lens parameters until the control points match as closely as possible.

Advanced >>

Anchor image: Image 0 ▾

Optimize lens Field of View:

Minimize lens distortion: Heavy + lens shift ▾

Press the Run Optimizer button below to start the optimizer.



# STITCHING WORKFLOW USING PTGUI

Project Assistant | Source Images | Lens Settings | Panorama Settings | Crop | Mask | Image Parameters | Control Points | Optimizer | Exposure / HDR | Project Settings | Preview | Create Panorama

Here you can hide unwanted parts of your source images by coloring them red. Or paint green to force certain parts to appear in the blended panorama.

0 1 2 3 4 5 6 7



Pencil Size:



Load Mask...

Save Mask...

Clear Mask

Zoom: Fit



# STITCHING WORKFLOW USING PTGUI

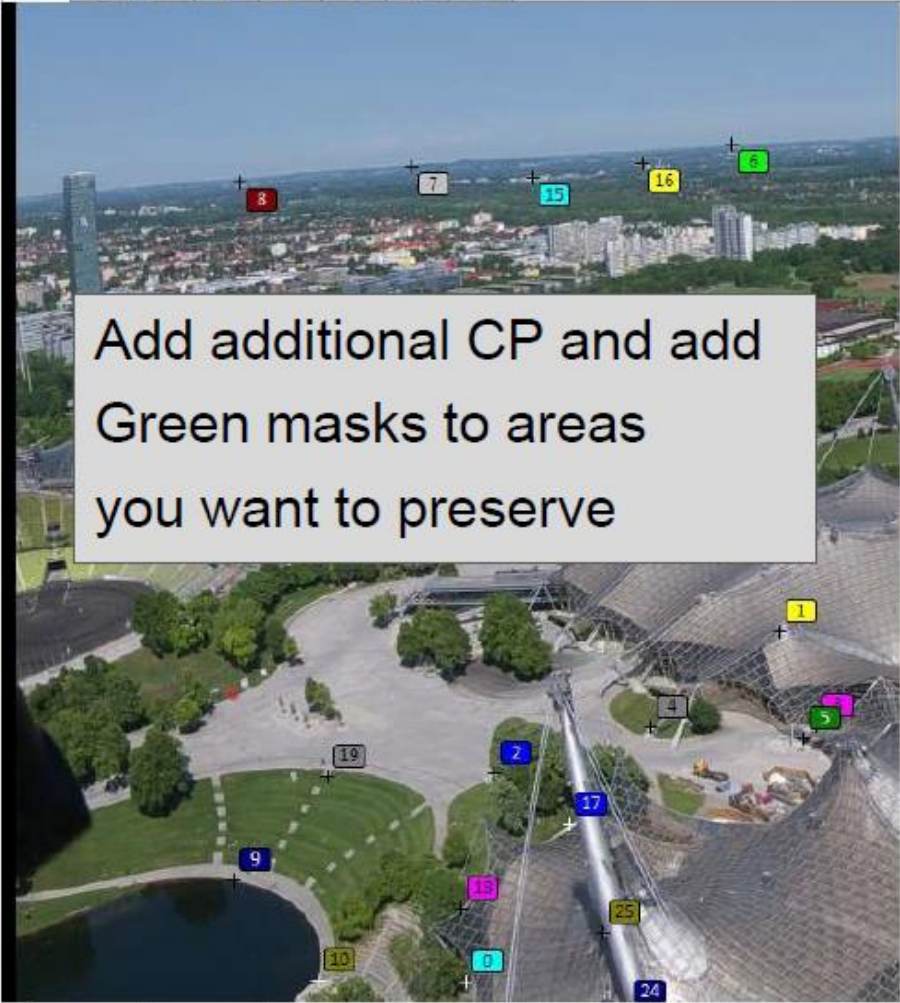
Project Assistant | Source Images | Lens Settings | Panorama Settings | Crop | Mask | Image Parameters | Control Points | Optimizer | Exposure / HDR | Project Settings | Preview | Create Panorama

Provide control points (matching points on two overlapping pictures). As a rule of thumb, provide at least three control points for each pair of overlapping images. It's easy; simply click on matching points on both images.

0 1 2 3 4 5 6 7

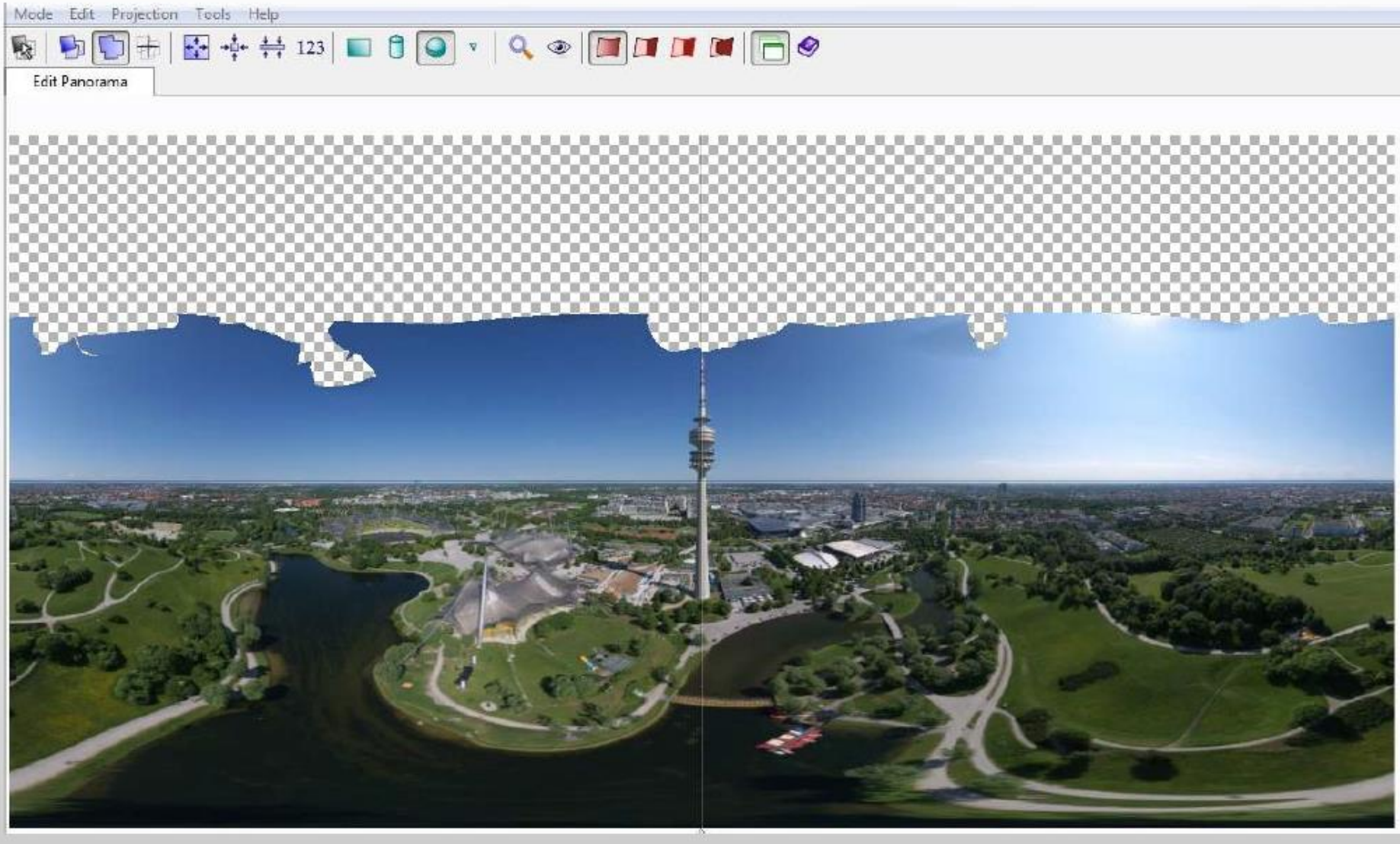
0 1 2 3 4 5 6 7

Add additional CP and add Green masks to areas you want to preserve

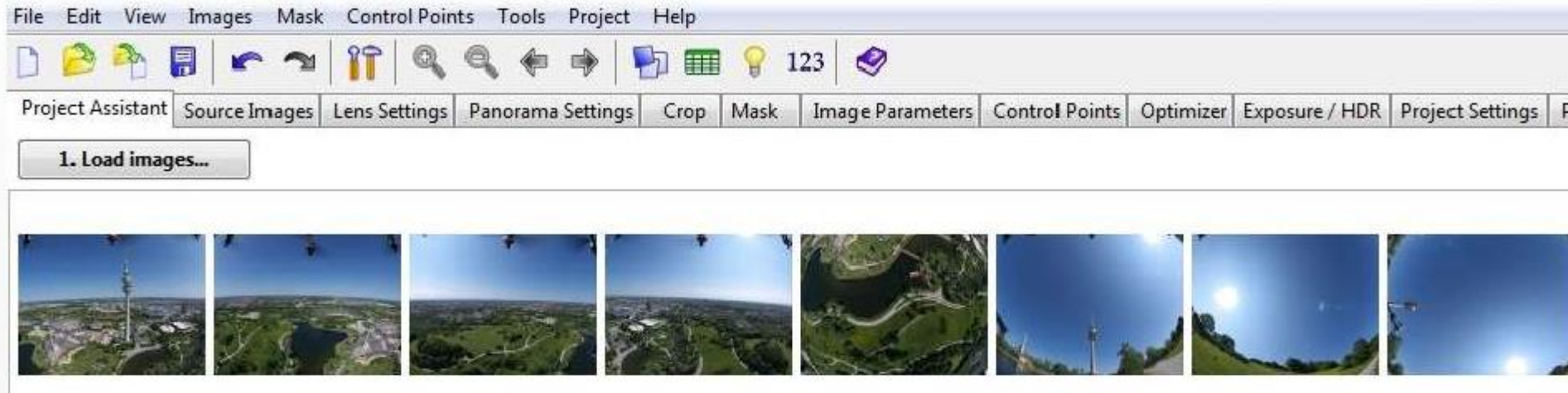


# STITCHING WORKFLOW USING PTGUI

Align and optimize the spherical panorama



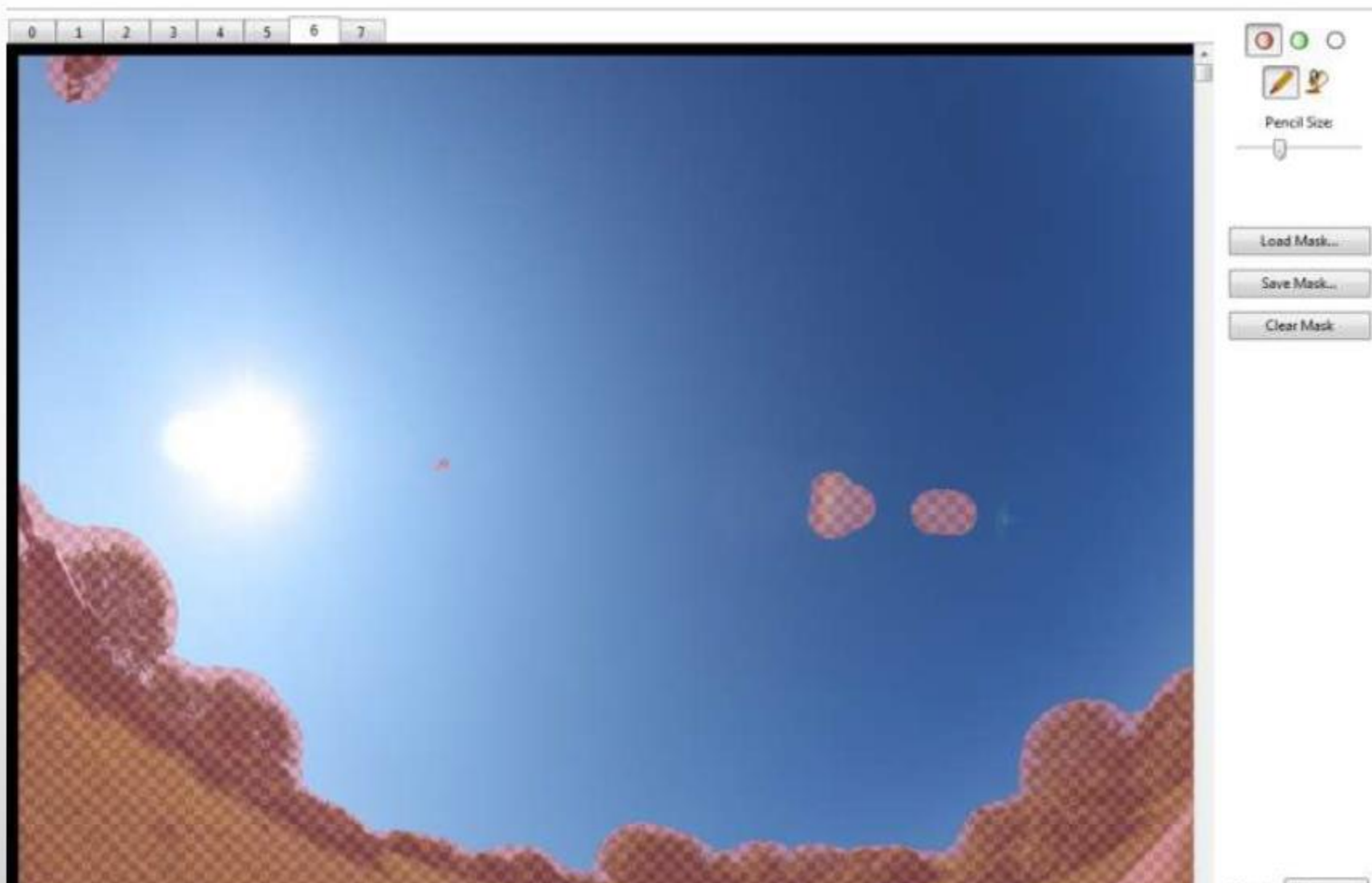
# STITCHING WORKFLOW USING PTGUI



- Add 3 Zenith pictures
  - Advantage of having enough overlap to remove lens flares and ground objects
- Move the 3 pictures manually using the panorama editor into the 'right' position

# STITCHING WORKFLOW USING PTGUI

- Mask ground objects and lens flares



# STITCHING WORKFLOW USING PTGUI

- Check the panorama in Editor

Mode Edit Projection Tools Help



# Compare Workflow (PTGui)



Photograph



Rendering using the deterministic method



# Image-based rendering motivates Image Processing...CV

Spracovanie obrazu je proces aplikovania akejkoľvek operácie na obraz alebo obrazové dáta pre daný účel. Napr. analýza scény, kompresia obrazu, konštrukcia 2D alebo 3D modelov objektov, ai.

vstup je daný ako	výstup je daný ako		
	popis	obrázok	zvuk
popis	symbolická manipulácia	počítačová grafika	hlasový výstup
obrázok	rozpoznávanie obrazov	spracovanie obrazu	
zvuk	rozpoznávanie zvuku		spracovanie zvuku

Obr. 1.4 Oblasti spracovania informácie

Počítačovej grafike príbuzné úlohy rieši aj **rozpoznávanie obrazov** (*pattern recognition*). Vzťahy týchto a ďalších oblastí spracovania informácie objasňuje obr. 1.4, [SKAL93]. Prázdne políčka označujú zatiaľ nepomenované oblasti.

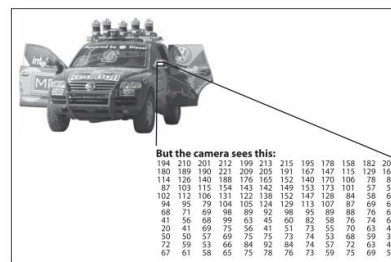


Figure 1-1. To a comput.

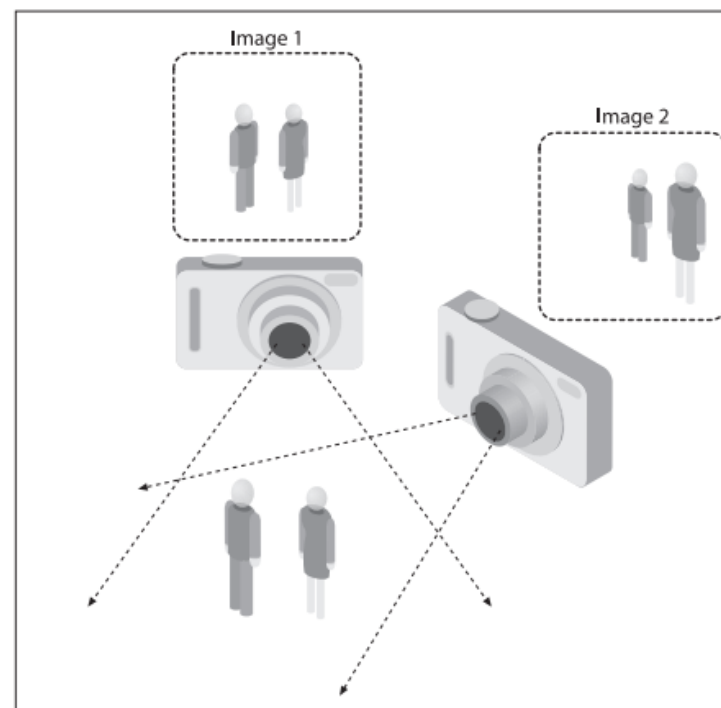


Figure 1-2. The ill-posed nature of vision: the 2D appearance of objects can change radically with viewpoint



# SK: [Ru] & dip.sccg.sk

Expertise | ogilvy | phigs plus - H | Hangul - Wikip | Varovania pri ne | Scalable Vector | Visual Usability | preface.pdf | Immersive technolo | Impact of an au | Visual Usability | Visualizing Argu | RoundCube Wel | Interaktívna učeb: X

dip.sccg.sk

Najobľúbenejšie | Ako začať | Prehľad správ

## Digital Image Processing

Interaktívna Učebnica Spracovania Obrazu

CQ Counter | Učebnica | Index | Download | Links

- 1. Úvod
  - 1.1 Digitalizácia
  - 1.1.1 Vzorovanie
  - 1.1.2 Kvantovanie
  - 1.2 Vlastnosti digitálneho obrazu
- 2. Predspracovanie
  - 2.1 Histogram
    - 2.1.1 Definícia histogramu
    - 2.1.2 Ekvalizácia histogramu
    - 2.1.3 Normalizácia histogramu
  - 2.2 Bodové jasové transformácie
    - 2.2.1 Operácie + a -
    - 2.2.2 Operácie \* a /
    - 2.2.3 Logaritmický operátor
    - 2.2.4 Exponenciálny operátor
  - 2.3 Konvolúcia
    - 2.4 Vyhľadovacie filtre
      - 2.4.1 Šumový model
      - 2.4.2 Priemerovacie filtre
      - 2.4.3 Mediánové filtre
    - 2.5 Hranové filtre
      - 2.5.1 Robertsov operátor
      - 2.5.2 Laplaceov operátor
      - 2.5.3 Prewittov operátor
      - 2.5.4 Sobelov operátor
      - 2.5.5 Robnasonov operátor
      - 2.5.6 Kirschov operátor
      - 2.5.7 LoG operátor
      - 2.5.8 Cannyho detektor
      - 2.5.9 Ostrenie obrazu
  - 3. Transformácia obrazu
    - 3.1 Geometrické transformácie
      - 3.1.1 Skáľovanie
      - 3.1.2 Otočenie
      - 3.1.3 Posunutie
      - 3.1.4 Stredová súmernosť
      - 3.1.5 Súmernosť podľa priamky
      - 3.1.6 Skosenie
    - 3.2 Fourierová transformácia
      - 3.2.1 Definície
      - 3.2.2 Vlastnosti
      - 3.2.3 FFT
    - 3.3 Cosinusová transformácia
    - 3.4 Hadamardova transformácia

Copyright©2003-06 Gábor Blázsovits

FAKULTA MATEMATIKY, FYZIKY A INFORMATIKY UNIVERZITY KOMENSKÉHO V BRATISLAVE  
KATEDRA APLIKOVANEJ INFORMATIKY

Interaktívna učebnica spracovania obrazu

RNDr. Gábor Blázsovits

Názov: Interaktívna učebnica spracovania obrazu  
Autor: RNDr. Gábor Blázsovits  
Text vznikol rámci realizácie projektu APVT-20-031304  
Recenzent: RNDr. Michal Fano  
Vydal: Knižničné a edičné centrum FMFI UK, Bratislava  
Rok vydania: 2006  
Miesto vydania: Bratislava  
Vydanie: Prvé

[HTTP://dip.sccg.sk](http://dip.sccg.sk)

ISBN 80-89186-08-4

Interaktívne applety vyžadujú [Java plug-in](#)

Kontakt: [blazsovits\\_gabor@yahoo.com](mailto:blazsovits_gabor@yahoo.com)

Last update: 23.02.2006



# Digital Image Processing

Interaktívna Učebnica Spracovania Obrazu

CQ Counter

Učebnica

Index

Download

Lin

# dip.sccg.sk

- 1. Úvod
  - 1.1 Digitalizácia
    - 1.1.1 Vzorkovanie
    - 1.1.2 Kvantovanie
  - 1.2 Vlastnosti digitálneho obrazu
- 2. Predspracovanie
  - 2.1 Histogram
    - 2.1.1 Definícia histogramu
    - 2.1.2 Ekvalizácia histogramu
    - 2.1.3 Normalizácia histogramu
  - 2.2 Bodové jasové transformácie
    - 2.2.1 Operácie + a -
    - 2.2.2 Operácie \* a /
    - 2.2.3 Logaritmický operátor
    - 2.2.4 Exponenciálny operátor
  - 2.3 Konvolúcia
  - 2.4 Vyhľadovacie filtre
    - 2.4.1 Šumový model
    - 2.4.2 Priemernovacie filtre
    - 2.4.3 Mediánové filtre
  - 2.5 Hranové filtre
    - 2.5.1 Robertsov operátor
    - 2.5.2 Laplaceov operátor
    - 2.5.3 Prewittov operátor
    - 2.5.4 Sobelov operátor
    - 2.5.5 Robinsonov operátor
    - 2.5.6 Kirschov operátor
    - 2.5.7 LoG operátor
    - 2.5.8 Cannyho detektor
    - 2.5.9 Ostrenie obrazu

FAKUL.

Názov: Interaktívna učebnica spracovania obrazu  
 Autor: RNDr. Gábor Blázsovits  
 Text vznikol rámci realizácie projektu APVT-20-031304  
 Recenzent: RNDr. Michal Fano  
 Vydal: Knižničné a edičné centrum FMFI UK, Bratislava  
 Rok vydania: 2006  
 Miesto vydania: Bratislava  
 Vydanie: Prvé

[HTTP://dip.sccg.sk](http://dip.sccg.sk)

ISBN 80-89186-08-4

Interaktívne applety vyžadujú [Java plug-in](#)

Kontakt: [blazsovits\\_gabor@yahoo.com](mailto:blazsovits_gabor@yahoo.com)

Last update: 23.02.2006

### 3. Transformácia obrazu

- 3.1 Geometrické transformácie
  - 3.1.1 Škálovanie
  - 3.1.2 Otočenie
  - 3.1.3 Posunutie
  - 3.1.4 Stredová súmernosť
  - 3.1.5 Súmernosť podľa priamky
  - 3.1.6 Skosenie
- 3.2 Fourierová transformácia
  - 3.2.1 Definície
  - 3.2.2 Vlastnosti
  - 3.2.3 FFT
- 3.3 Cosinusová transformácia
- 3.4 Hadamardova transformácia
- 3.5 Walshova transformácia

### 4. Segmentácia

- 4.1 Prahovanie
  - 4.1.1 Jednoduché prahovanie
  - 4.1.2 Adaptívne prahovanie
- 4.2 Techniky založené na hranách
  - 4.2.1 Lokálna analýza
  - 4.2.2 Sledovanie hranice
- 4.3 Techniky založené na oblastiach
  - 4.3.1 Selekcia podľa farby
  - 4.3.2 Spájanie oblastí
  - 4.3.3 Rozdeľovanie oblastí
  - 4.3.4 Rozdeľovanie a spájanie oblastí
- 4.4 Porovnávanie so vzorom

### 5. Morfológická transformácia

- 5.1 Definícia
- 5.2 Erózia a dilatácia
- 5.3 Otvorenie a uzavrenie
- 5.4 Hit and miss operácia

### 6. Obnovenie obrazu

- 6.1 Model degradácie
  - 6.1.1 Zahmlenie
  - 6.1.2 Turbulencia atmosféry
- 6.2 Inverzná transformácia
- 6.3 Wienerov filter

### 7. Rozpoznávanie obrázkov

- 7.1 Popis objektov
  - 7.1.1 Identifikácia oblasti
  - 7.1.2 Popis vychádzajúci z hranice
  - 7.1.3 Popis vychádzajúci z oblasti
- 7.2 Príznakové metódy rozpoznávania
  - 7.2.1 Kritérium minimálnej vzdialenosti
  - 7.2.2 Kritérium minimálnej chyby
  - 7.2.3 Nastavenie klasifikátoru
  - 7.2.4 Zhluková analýza
- 7.3 Štruktúrne metódy rozpoznávania
  - 7.3.1 Gramatiky a jazyky
  - 7.3.2 Fáza učenia
  - 7.3.3 Syntaktická analýza

Použitá literatúra

Copyright©2003-06 Gábor Blázsovits

# From digital image (Ruzicky) to IBR (OpenCV pipeline)

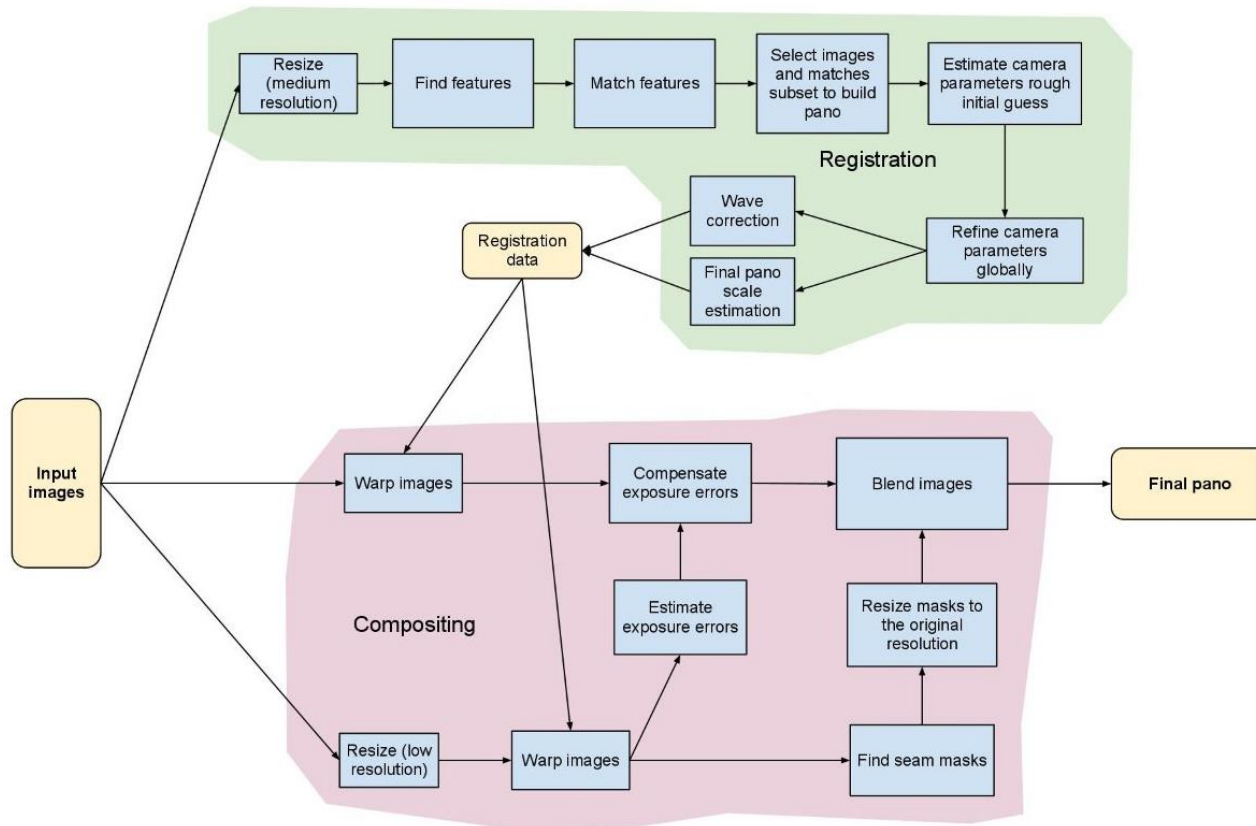


Obr. 6.1 Obrazová funkcia získaná vzorkovaním

<b>Matematické základy spracovania obrazu</b> .....	<b>75</b>
6.1. Úvod do Fourierovej transformácie .....	75
6.2. Diskrétna Fourierova transformácia .....	78
6.3. Niektoré vlastnosti Fourierovej transformácie .....	82
<b>Jasová korekcia a filtrácia obrazu</b> .....	<b>87</b>
7.1. Úvod .....	87
7.2. Jasová korekcia .....	87
7.3. Zlepšenie obrazu pomocou histogramu .....	89
7.4. Filtrácia .....	95
7.5. Vyhladenie obrazu .....	98
7.6. Ostrenie obrazu .....	102
<b>Segmentácia a hranica obrazu</b> .....	<b>107</b>
8.1. Úvod .....	107
8.2. Segmentácia prahovaním .....	107
8.3. Hranica a obrys binárneho obrazu .....	112
8.4. Segmentácia obrysom .....	120
8.5. Segmentácia narastaním oblastí .....	122
<b>Morfologické transformácie a skelet</b> .....	<b>125</b>
9.1. Úvod do morfológie .....	125
9.2. Konštrukcia elementárnych transformácií .....	126
9.3. Kostra (skelet) množiny .....	131
9.4. Základné pojmy .....	131
9.5. Algoritmy skeletovania .....	135



# Image-based rendering (e.g. OpenCV pipeline)



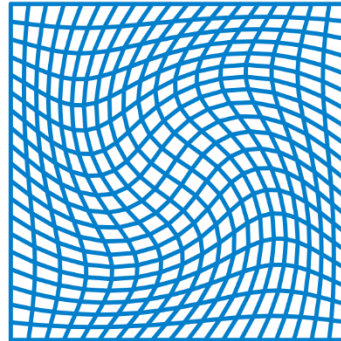
**Intro Reading:** e.g. [https://en.wikipedia.org/wiki/Image\\_stitching](https://en.wikipedia.org/wiki/Image_stitching)

**Image registration** is the process of transforming different sets of data into one coordinate system.

# Image Registration

**Image registration**, transforming different sets of data into one coordinate system.

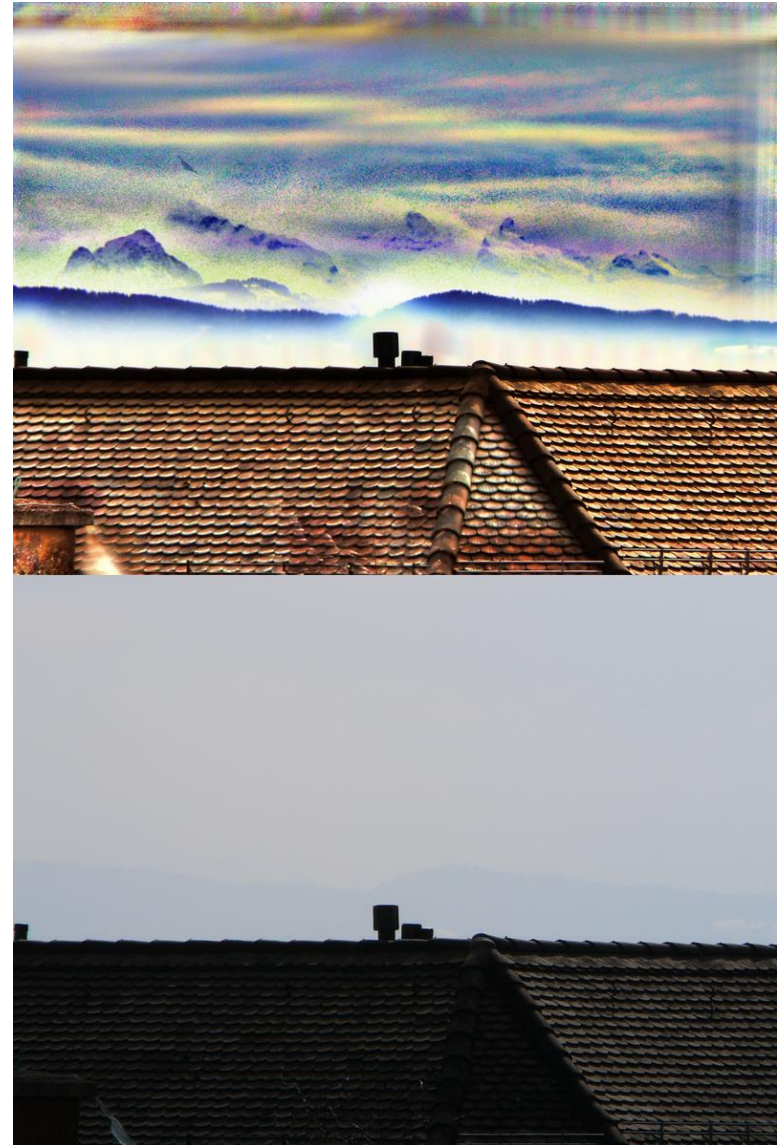
e.g. **Diffeomorphism**, an isomorphism of smooth manifolds, an invertible function that maps one differentiable manifold to another such that both the function and its inverse are smooth



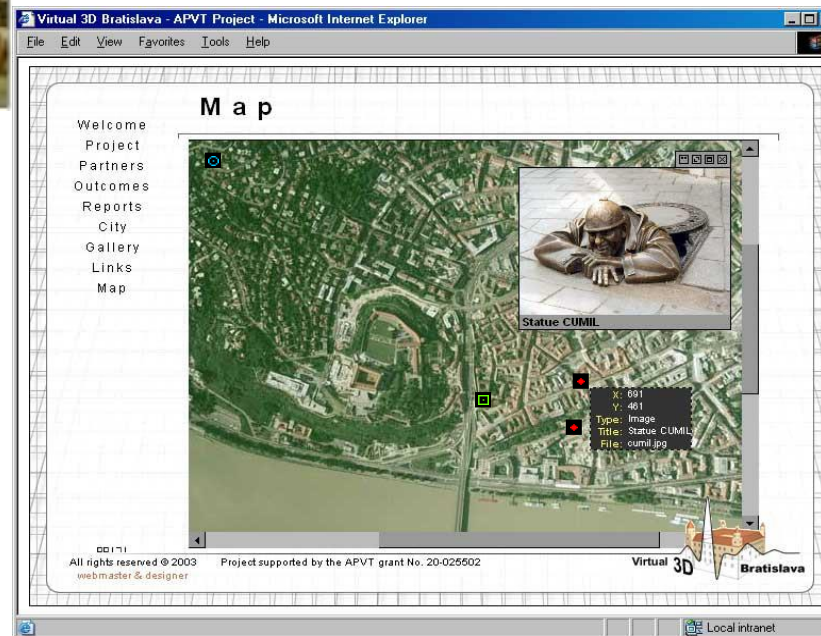
## Why?

to see things previously impossible to see,  
e.g. the distant Alps

[https://en.wikipedia.org/wiki/Image\\_registration](https://en.wikipedia.org/wiki/Image_registration)



# History 2, Bratislava

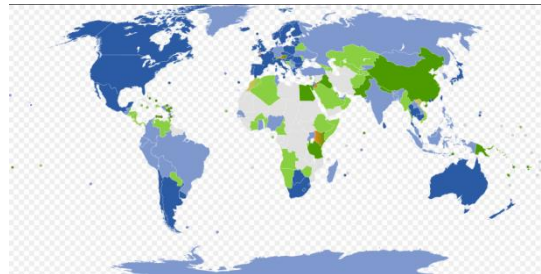


Veduta, malovana rovinna panorama a dvoj pohľadova vizualizacia, VrBa.

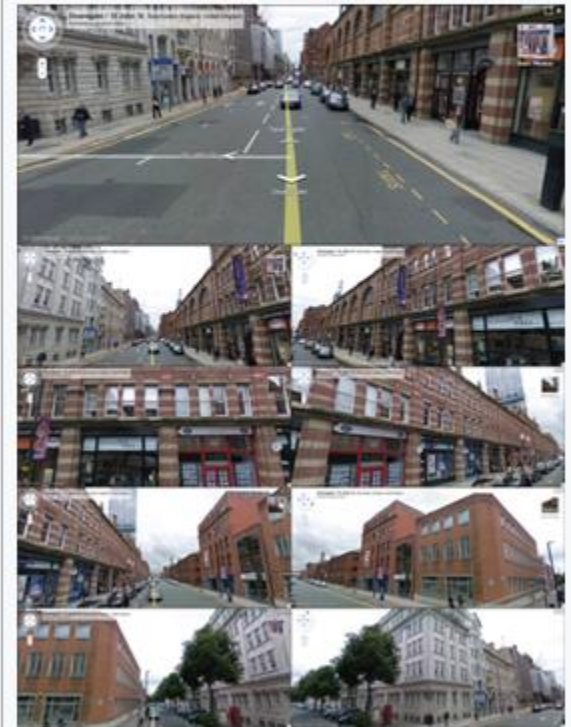
# History 3... Street View 2007



The facades of buildings were texture-mapped onto 3D models. The same 3D model was used to translate 2D screen coordinates into a database of buildings in order to provide hyperlinks to additional data.



Google Street View

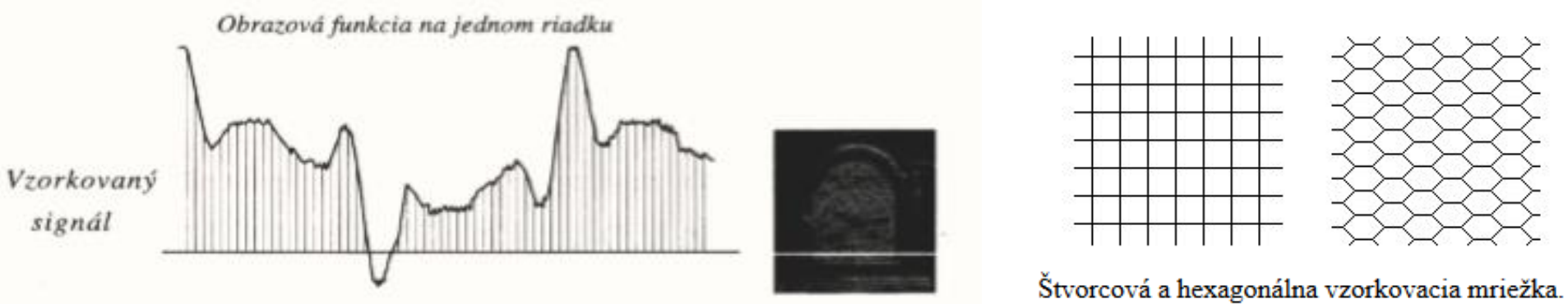


A road junction in Manchester, England, showing nine different angles

Initial release May 25, 2007; 10 years ago

Aspen Movie Map, MBR >> IBR, 20 peta 2012

# Digital Image



## 1.2 Vlastnosti digitálneho obrazu

V tejto učebnici slovo **obraz**, alebo šedotónový obraz bude vyjadrovať dvojrozmernú jasovú funkciu  $f(x,y)$ . Definičným oborom obrazovej funkcie bude rovinná oblasť  $R$ :

$$R = \{(x, y), 0 \leq x \leq x_n, 0 \leq y \leq y_m\} \quad (1)$$

kde  $x, y$  sú celé čísla,  $x_n, y_m$  sú maximálne súradnice. Obor hodnôt je celočíselná množina jasových hodnôt.

V digitálnom obraze môžeme zaviesť **vzdialenosť** medzi dvoma bodmi. Nech  $(i,j)$   $(k,l)$  sú dva obrazové elementy, potom vzdialenosť môžeme definovať nasledujúcimi spôsobmi:

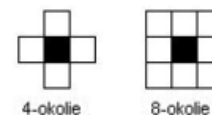
$$D_E = \sqrt{(i-k)^2 + (j-l)^2} \quad (2)$$

$$D_4 = |i-k| + |j-l| \quad (3)$$

$$D_8 = \max\{|i-k|, |j-l|\} \quad (4)$$

Kde  $D_E$  je Euklidovská vzdialenosť, ktorá ale nie je vhodná pre diskretný obraz, lebo nemusí vrátiť celé číslo. Vzdialenosti  $D_4, D_8$  určujú najmenší počet jednotkových krokov mriežke. V prípade  $D_4$  posun je povolený len vo zvislom alebo vo vodorovnom smere. V prípade  $D_8$  sú povolené aj diagonálne pohyby.

Ďalším dôležitým pojmom je **susednosť**. Rozlišujeme **4-susednosť** a **8-susednosť**. 4-susedia daného obrazového elementu sú body s jednotkovou vzdialenosťou v  $D_4$ . Tiež sa hovorí **4-okolie**, alebo **8-okolie**.



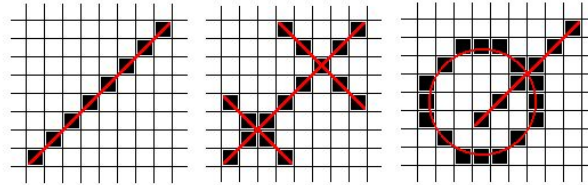


# Digital Image Properties

**Oblasť** je súvislá množina obrazových elementov, pre ktorú platí, že medzi každými dvoma bodmi existuje cesta patriaca celá do tejto množiny. Predpokladajme, že  $R_i$  sú oblasti obrazu. Nech  $R$  je oblasť ktorá vznikne zjednotením všetkých oblastí  $R_i$ . Potom  $R^c$  je množinovým doplnkom oblasti  $R$ , nazývame ho pozadím.

**Objekty** sú oblasti, ktoré obvykle odpovedajú entitám zobrazovaného sveta. V jednoduchom praktickom prípade, keď má bod jas väčší ako určitý prah, priradíme ho k objektu.

Súvislosť a susednosť definovaná na diskretnej štvorcovej mriežke nás privedie k určitým paradoxom. Predstavme si úsečku s 45 stupňovým sklonom v digitálnom obraze. Ak uvažujeme 4-susednosť, potom táto úsečka je v každom svojom bode nesúvislá. Ďalším paradoxom je, že dve pretínajúce sa úsečky v digitálnom obraze sa len dotýkajú.



a) v prípade 4-susednosti, úsečka je v každom svojom bode nesúvislá.

b) v pravo hore sa úsečky pretínajú, kým ľavo dole sa len dotýkajú, t.j. nemajú spoločný bod.

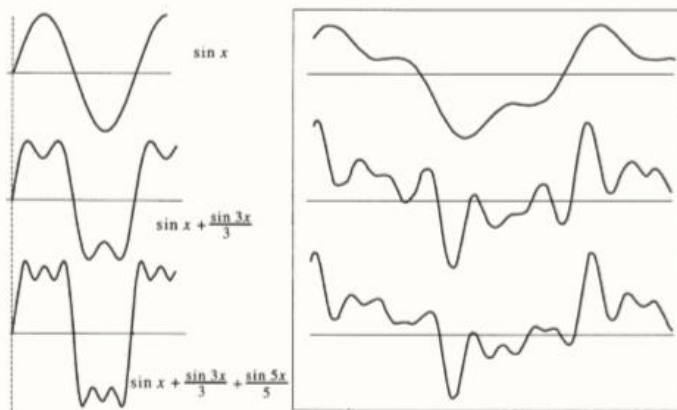
c) z euklidovskej geometrie platí, že uzavretá krivka delí priestor na dve časti. V digitálnom obraze to ale nemusí byť pravda. Na obrázku vidíme kruh, t.j. uzavretú krivku, a úsečku ktorá ju nepretína, ale spája body z vnútra s bodmi z vonkajška.

Jedným riešením pre tieto paradoxy je použiť 8-susednosť pre objekty a 4-susednosť pre pozadie. Je to ale nepraktické riešenie. Ďalšou možnosťou je použiť hexagonálnu mriežku, v ktorej paradoxy nevznikajú. Narazíme ale na realizačný problém, pretože väčšina grafických zariadení podporuje štvorcový raster.

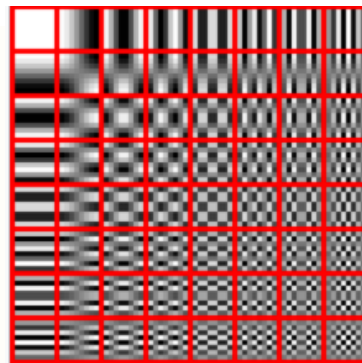
Pod pojmom **hranica oblasti** rozumieme množinu všetkých bodov, ktoré majú aspoň jedného suseda, ktorý nepatrí do oblasti. V digitálnom obraze rozlišujeme **vonkajšiu** a **vnútornú** hranicu. Pre vnútornú hranicu potom platí predošlá definícia. Vonkajšia hranica je hranicou pozadia.

DIP - Digital Image Processing, Interaktívna učebnica spracovania obrazu  
Copyright©2003-06 Gábor Blázovits, Katedra aplikovanej informatiky FMFI UK Bratislava

[Ru],  $W_i$ , [Kalra]

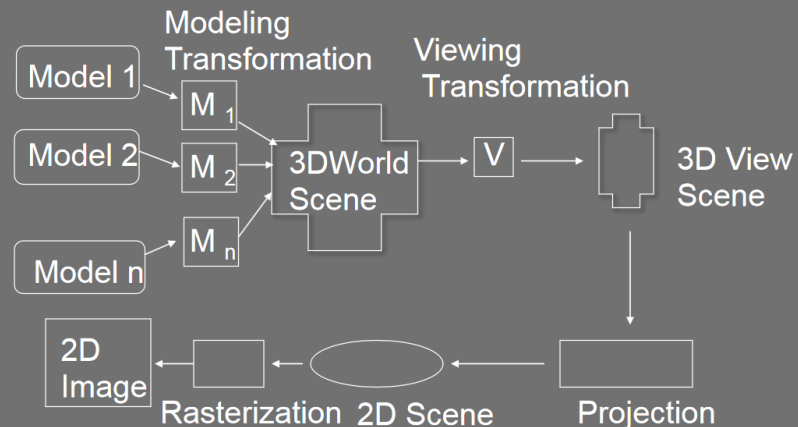


a) b)  
Obr. 6.2 Signál vyjadrený frekvenciou harmonických funkcií



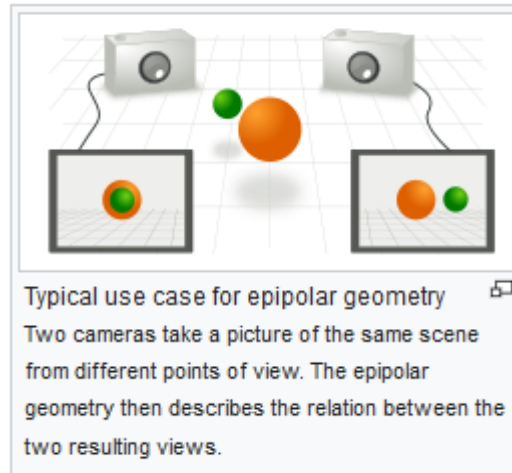
The DCT transforms an  $8 \times 8$  block of input values to a linear combination of these 64 patterns. The patterns are referred to as the two-dimensional DCT *basis functions*, and the output values are referred to as *transform coefficients*. The horizontal index is  $u$  and the vertical index is  $v$ .

## Graphics Rendering Pipeline



# Digital Image >> Model

- Model>Picture: SetPixel
- Model>Picture: GKS 6, **polyline, polymarker, fill area, text, cell array, NUB (GDP)**
- Model>Picture: SVG 14, **path, basic shapes, text...** or feature sets
- Image>Model: e.g. **Harris Corner Detector, interaction**
- Image>Model: e.g. **Harris Edge Detector, snake... CV (OCR etc.)**
- **Image Registration**
- **Mathematic Morphology**
- **Image Correspondence**
- **Image Segmentation**



Source image.

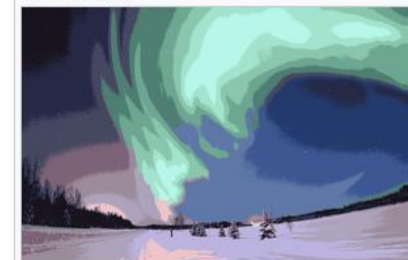


Image after running  $k$ -means with  $k = 16$ . Note that a common technique to improve performance for large images is to downsample the image, compute the clusters, and then reassign the values to the larger image if necessary.

# Digital Image >> Model

- Model>Picture: SetPixel
- Model>Picture: GKS 6, **polyline, polymarker, fill area, text, cell array, NUB (GDP)**
- Model>Picture: SVG 14, **path, basic shapes, text... or feature sets**

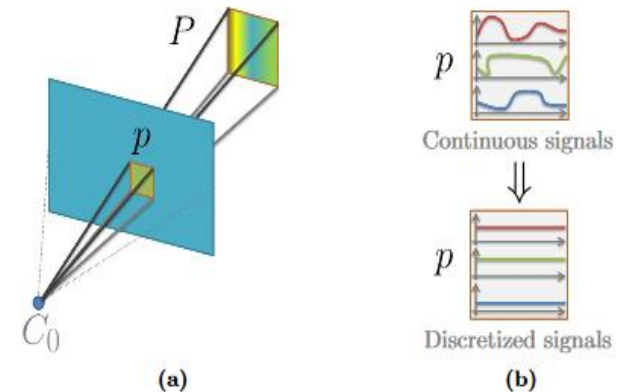
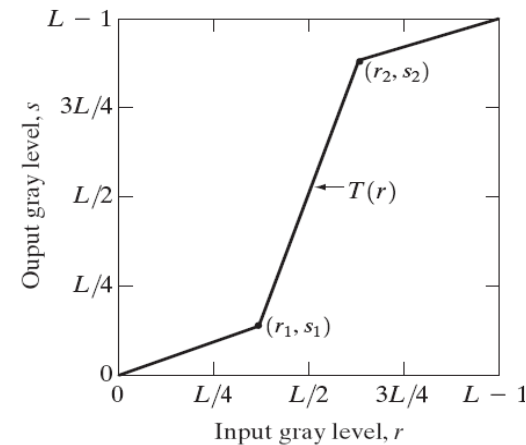
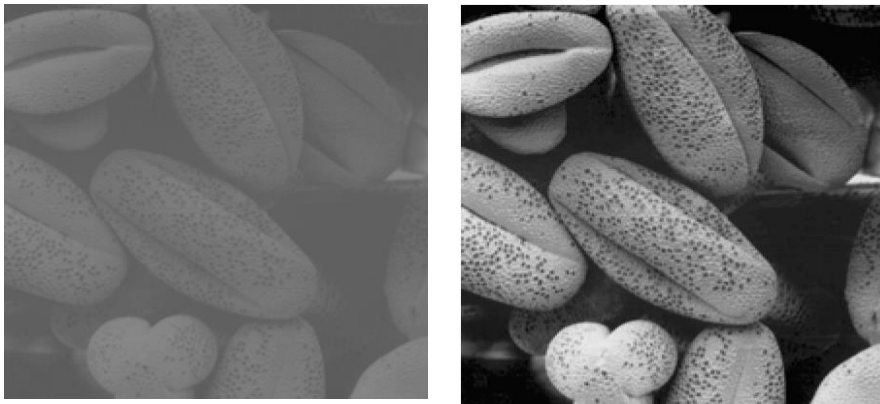


Figure 2.1: Image Formation. A 2D pixel  $p$  is formed by projecting a 3D frustum onto the camera sensor (a). Within this pixel, continuous RGB signals are discretized to an average RGB value, losing spatial resolution (b).

- Image>Model: e.g. **Harris Corner Detector, interaction**
- Image>Model: e.g. **Harris Edge Detector, snake... CV (OCR etc.)**
- **Image Registration**
- **Mathematic Morphology**

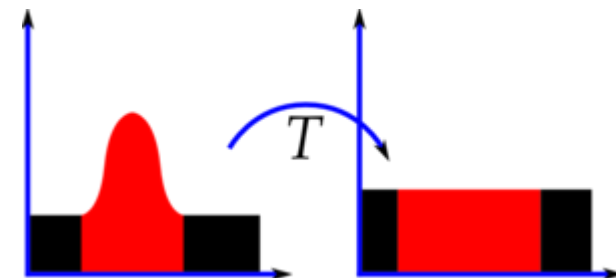
# Digital Image Processing (Low Level)

- The negative of an image with gray levels in the range  $[0, 255]$ ,  $s = 255 - r$
- Contrast stretching by increasing the dynamic range [Benesova]



- The histogram of a digital image with gray levels in the range  $[0, L-1]$  is a discrete function  $h(r_k) = n_k$  where  $r_k$  is the  $k$ -th gray level and  $n_k$  is the number of pixels in the image having gray level  $r_k$  [Benesova] >> EQUALIZATION

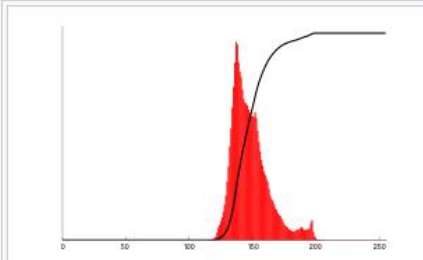
- Image averaging
- Image subtraction
- Smoothing/sharpening



# Histogram Equalization



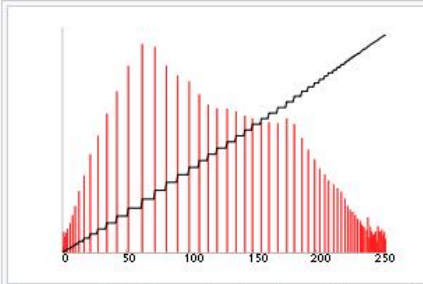
Before Histogram Equalization



Corresponding histogram (red) and cumulative histogram (black)



After Histogram Equalization

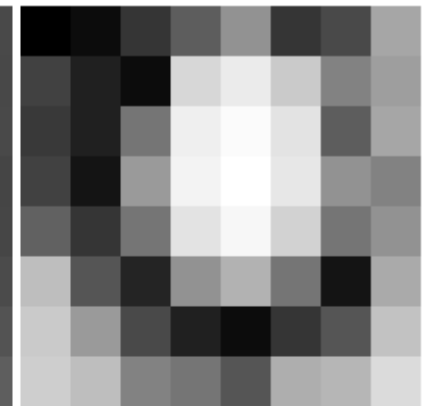


Corresponding histogram (red) and cumulative histogram (black)

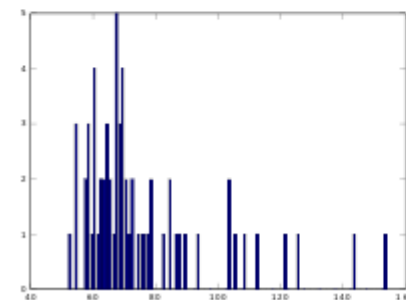
[https://en.wikipedia.org/wiki/Histogram\\_equalization](https://en.wikipedia.org/wiki/Histogram_equalization)



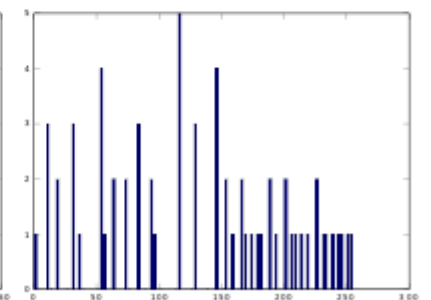
Original



Equalized



Histogram of Original image



Histogram of Equalized image

# Digital Image Transformations

- Translation, rotation, scale, symmetry, skew >> [dip.sccg.sk](http://dip.sccg.sk)
- Pixel approximation: nearest neighbour (1 pixel), bilinear interpolation (4 pixels), bicubic interpolation (9 pixels)

V praxi sa táto rovnica nahradzuje bilineárnou transformáciou, alebo afinnou transformáciou. Bilineárna transformácia má tvar:

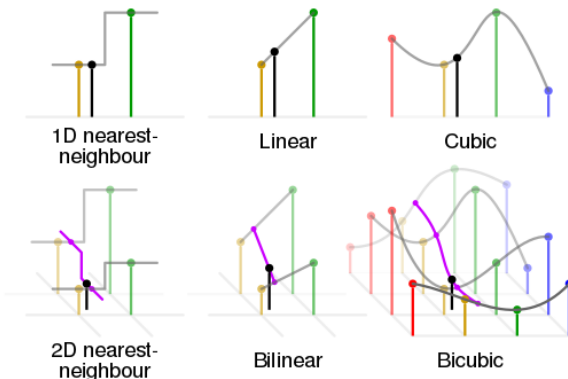
$$\begin{aligned} x_1 &= a_0 + a_1x + a_2y + a_3xy \\ y_1 &= b_0 + b_1x + b_2y + b_3xy \end{aligned} \quad (3)$$

Na jeho určenie potrebujeme štyri dvojice vstupných a výstupných bodov.  
Na určenie afinnej transformácie stačia tri dvojice bodov, a má tvar:

$$\begin{aligned} x_1 &= a_0 + a_1x + a_2y \\ y_1 &= b_0 + b_1x + b_2y \end{aligned} \quad (4)$$

Pomocou homogénnych súradníc môžeme afinné transformácie vyjadriť v maticovom tvare

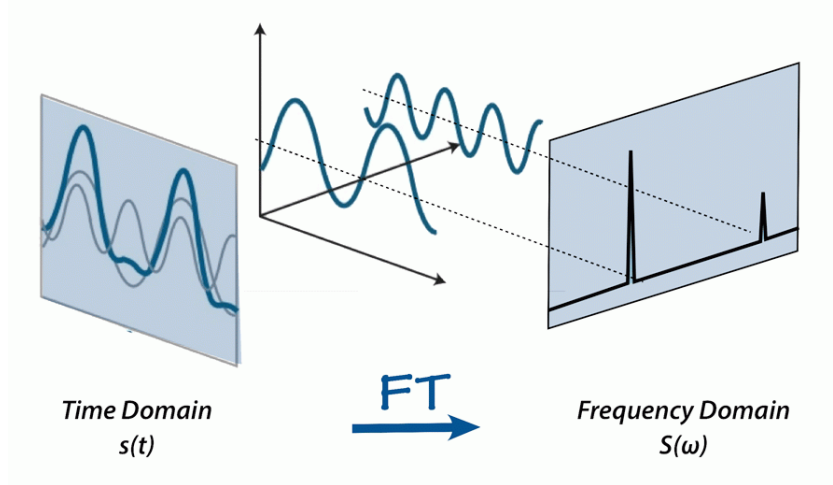
$$\begin{bmatrix} x_1 \\ y_1 \\ 1 \end{bmatrix} = \begin{bmatrix} a_1 & a_2 & a_3 \\ b_1 & b_2 & b_3 \\ 0 & 0 & 1 \end{bmatrix} \begin{bmatrix} x \\ y \\ 1 \end{bmatrix} \quad (5)$$



[https://en.wikipedia.org/wiki/Bicubic\\_interpolation#/media/File:Comparison\\_of\\_1D\\_and\\_2D\\_interpolation.svg](https://en.wikipedia.org/wiki/Bicubic_interpolation#/media/File:Comparison_of_1D_and_2D_interpolation.svg)

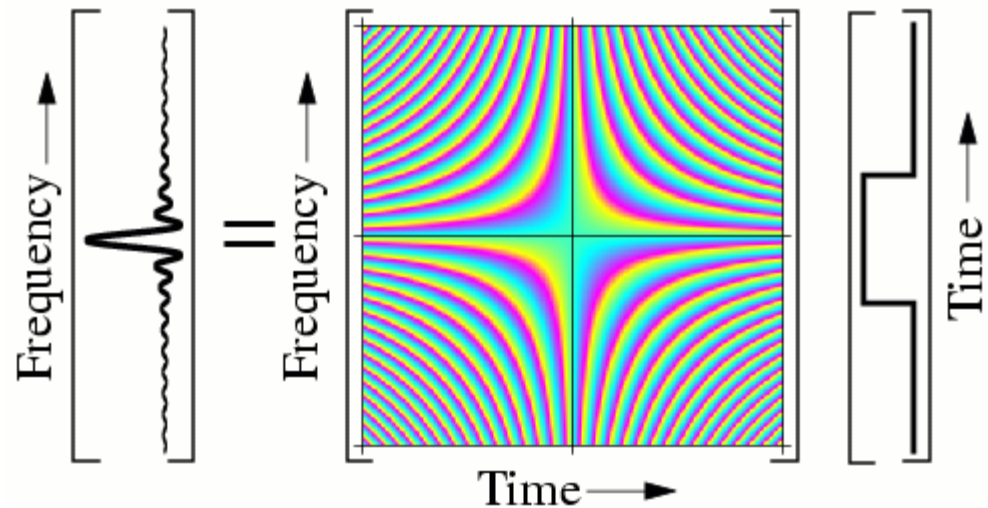
- Fourier transform >> [dip.sccg.sk](http://dip.sccg.sk), Ruzicky, Sikudova

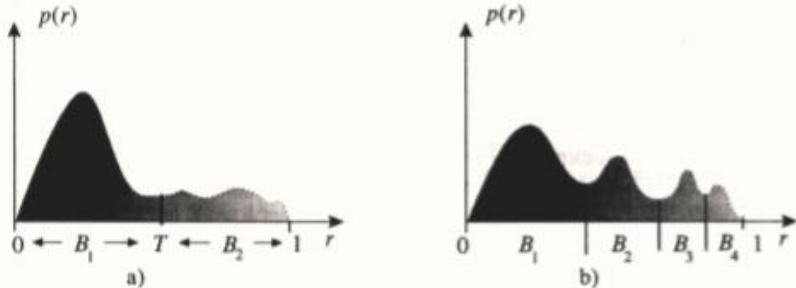
# Fourier Transform Visually



## The Fourier Transform

A visualization of the Fredholm kernel of the continuous Fourier transform





Obr. 8.2 Histogram globálneho prahovania

Z toho dôvodu určíme hranice v horizontálnom aj vertikálnom smere dvoma prechodmi obrazom  $f(x, y)$ . Vo všeobecnosti môžu byť určené intervaly hodnôt  $B_1, B_2, \dots, B_n$ .

### Algoritmus vyhľadania hranice

- Pre každý riadok v obraze  $f(x, y)$  (t.j.  $y = 0, 1, \dots, N-1$ ), vytvoríme príslušný riadok v pomocnom obraze  $g_1(x, y)$  použitím nasledovného vzťahu pre  $x = 1, 2, \dots, N-1$ :  

$$g_1(x, y) = L_E, \text{ ak } f(x, y) \text{ a } f(x-1, y) \text{ sú v rôznych intervaloch,} \quad (1)$$

$$L_B, \text{ inak,}$$
 kde  $L_E$  a  $L_B$  sú špecifikované úrovne hranice (edge) a pozadia (background).
- Pre každý stĺpec v obraze  $f(x, y)$  (t.j.  $x = 0, 1, \dots, N-1$ ), vytvoríme príslušný stĺpec v pomocnom obraze  $g_2(x, y)$  použitím nasledovného vzťahu pre  $y = 1, 2, \dots, N-1$ :  

$$g_2(x, y) = L_E, \text{ ak } f(x, y) \text{ a } f(x, y-1) \text{ sú v rôznych intervaloch,} \quad (2)$$

$$L_B, \text{ inak.}$$
- Požadovaný obraz, pozostávajúci z hranice objektov odlišených od pozadia je získaný použitím nasledovného vzťahu pre  $x, y = 1, 2, \dots, N-1$ :  

$$g(x, y) = L_E, \text{ ak } g_1(x, y) \text{ alebo } g_2(x, y) \text{ je rovné } L_E,$$

$$L_B, \text{ inak.}$$

Predpokladáme, že oblasť je zadaná vo vnútri a nie na okraji obdĺžnika obrazovej mapy  $h[i, j]$ , pretože pre tieto body funkcia  $neighb\_h$  nie je definovaná jednoznačne.

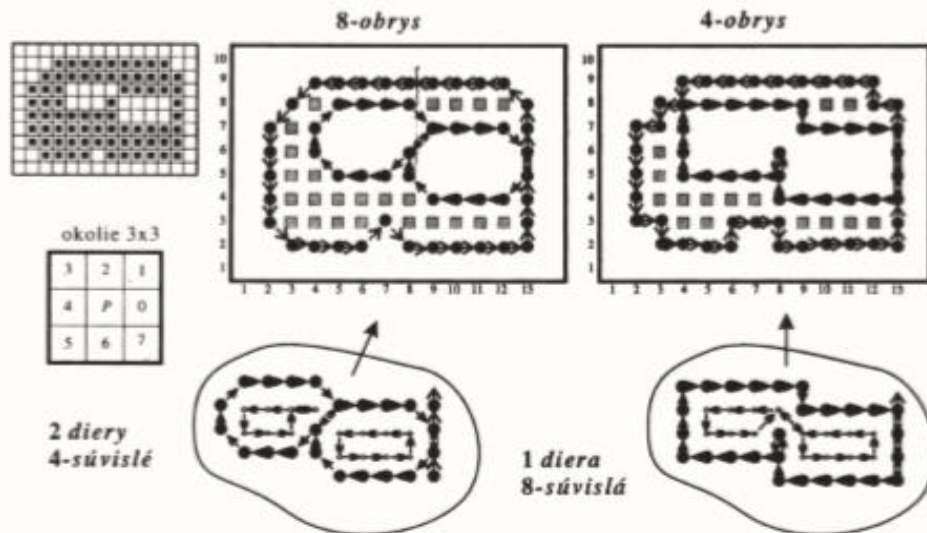
### Algoritmus postupného prehľadávania hraničných bodov

Procedure Bound\_8; { farby sú: 0 - doplnok, 1 - množina }

```

begin
  for i= 1 to Xmax do
    for j= 1 to Ymax do
      begin
        if h[i, j] = 1 then { bod z množiny }
          begin
            if neighb_h(i, j, 0) = 0 then h[i, j] = 2 else { bod z doplnku množiny }
            if neighb_h(i, j, 2) = 0 then h[i, j] = 2 else
            if neighb_h(i, j, 4) = 0 then h[i, j] = 2 else
            if neighb_h(i, j, 6) = 0 then h[i, j] = 2
          end
        end
      end
    end
  end;

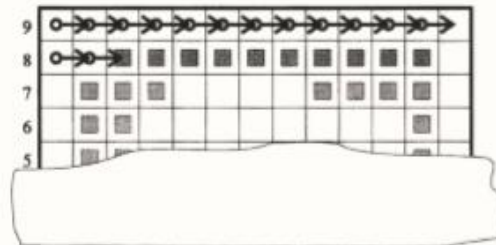
```



Obr. 8.5 Rozdiel medzi 8-obrysom a 4-obrysom tej istej oblasti

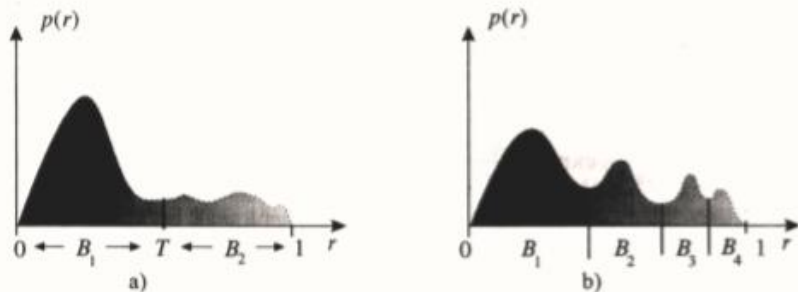
### 8.3.2 Jednoduchý algoritmus obrysu

Predpokladajme ako v predchádzajúcej časti, že oblasť máme zadanú v matici  $h[]$ . Určíme prvý hraničný bod, ktorý bude prvým bodom postupnosti obrysu. Tento bod vyhľadáme napríklad tak, že postupne prehľadávame body v riadkoch, až kým nenájdeme prvý bod s hodnotou 1 (pozri obr. 8.6). Túto procedúru vyhľadania prvého bodu označme *first*. Aktuálny bod obrysu označme *P*.



Obr. 8.6 Vyhľadanie prvého bodu v algoritme určenia obrysu





Obr. 8.2 Histogram globálneho prahovania

Z toho dôvodu určíme hranice v horizontálnom aj vertikálnom smere dvoma prechodmi obrazom  $f(x, y)$ . Vo všeobecnosti môžu byť určené intervaly hodnôt  $B_1, B_2, \dots, B_n$ .

### Algoritmus vyhľadania hranice

- Pre každý riadok v obraze  $f(x, y)$  (t.j.  $y = 0, 1, \dots, N-1$ ), vytvoríme príslušný riadok v pomocnom obraze  $g_1(x, y)$  použitím nasledovného vzťahu pre  $x = 1, 2, \dots, N-1$ :  

$$g_1(x, y) = \begin{cases} L_e, & \text{ak } f(x, y) \text{ a } f(x-1, y) \text{ sú v rôznych intervaloch,} \\ L_b, & \text{inak,} \end{cases} \quad (1)$$
 kde  $L_e$  a  $L_b$  sú špecifikované úrovne hranice (edge) a pozadia (background).
- Pre každý stĺpec v obraze  $f(x, y)$  (t.j.  $x = 0, 1, \dots, N-1$ ), vytvoríme príslušný stĺpec v pomocnom obraze  $g_2(x, y)$  použitím nasledovného vzťahu pre  $y = 1, 2, \dots, N-1$ :  

$$g_2(x, y) = \begin{cases} L_e, & \text{ak } f(x, y) \text{ a } f(x, y-1) \text{ sú v rôznych intervaloch,} \\ L_b, & \text{inak.} \end{cases} \quad (2)$$
- Požadovaný obraz, pozostávajúci z hranice objektov odlišených od pozadia je získaný použitím nasledovného vzťahu pre  $x, y = 1, 2, \dots, N-1$ :

Predpokladáme, že oblasť je zadaná vo vnútri a nie na okraji obdĺžnika obrazovej mapy  $h[i, j]$ , pretože pre tieto body funkcia  $neighb\_h$  nie je definovaná jednoznačne.

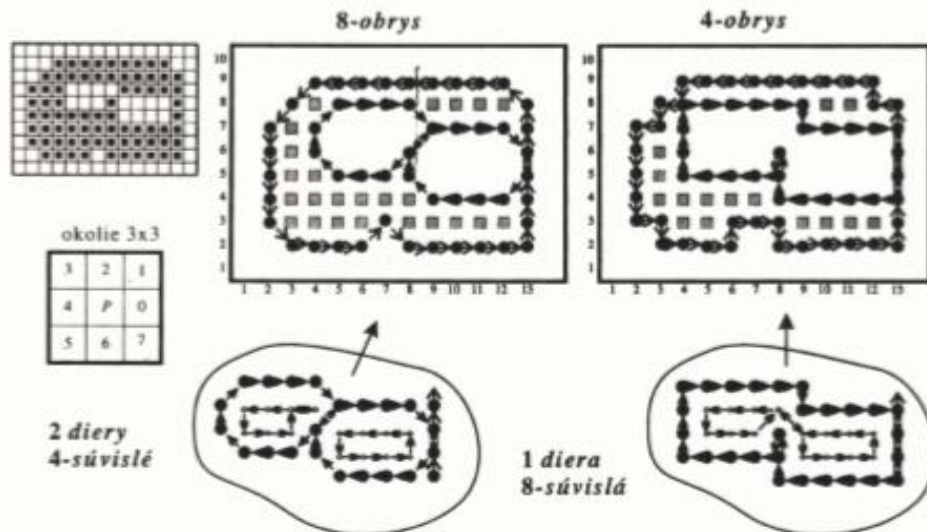
### Algoritmus postupného prehľadávania hraničných bodov

Procedure Bound\_8; { farby sú: 0 - doplnok, 1 - množina }

```

begin
  for i:= 1 to Xmax do
    for j:= 1 to Ymax do
      begin
        if h[i, j] = 1 then { bod z množiny }
          begin
            if neighb_h(i, j, 0) = 0 then h[i, j] := 2 else { bod z doplnku množiny }
            if neighb_h(i, j, 2) = 0 then h[i, j] := 2 else
            if neighb_h(i, j, 4) = 0 then h[i, j] := 2 else
            if neighb_h(i, j, 6) = 0 then h[i, j] := 2
          end
        end
      end
    end
end;

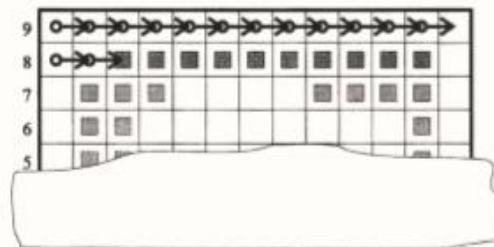
```



Obr. 8.5 Rozdiel medzi 8-obrysom a 4-obrysom tej istej oblasti

### 8.3.2 Jednoduchý algoritmus obrysu

Predpokladajme ako v predchádzajúcej časti, že oblasť máme zadanú v matici  $h[]$ . Určíme prvý hraničný bod, ktorý bude prvým bodom postupnosti obrysu. Tento bod vyhľadáme napríklad tak, že postupne prehľadávame body v riadkoch, až kým nenájdeme prvý bod s hodnotou 1 (pozri obr. 8.6). Túto procedúru vyhľadania prvého bodu označme *first*. Aktuálny bod obrysu označme *P*.



Obr. 8.6 Vyhľadanie prvého bodu v algoritme určenia obrysu



# Úvod do počítačovej grafiky bez geometrie: Image-based Rendering

Andrej FERKO

Comenius University Bratislava

21. marca 2018, FMFI UK